

Supergeleiding wordt steeds “hotter”

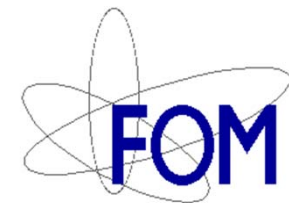


Anne de Visser
Van der Waals-Zeeman Instituut
Universiteit van Amsterdam



Science Park FNWI-UvA

- Klassieke supergeleiders
- Het “standaard” model: BCS
- Hoge temperatuur supergeleiding
- Supergeleiding toegepast
- “Hot-topics” supergeleiding



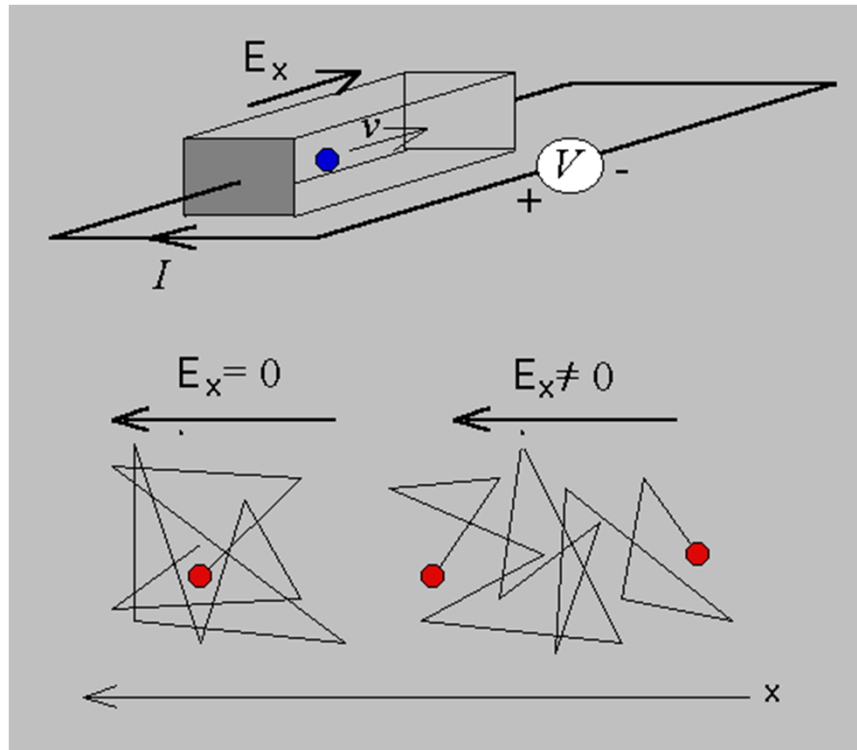
Klassieke supergeleiders

Geleiding in metalen omstreeks 1900



Paul Drude
1863-1906

- Drude model, klassiek model:
 - verdund gas van electronen
 - verstrooien aan atoomkernen



$$\sigma = \frac{ne^2\tau}{m}$$

geleiding

$$\rho = \frac{m}{ne^2\tau}$$

weerstand R ;
 $\tau =$ verstrooiingstijd

$$\vec{j} = \sigma \vec{E} = \frac{1}{\rho} \vec{E}$$

stroomdichtheid

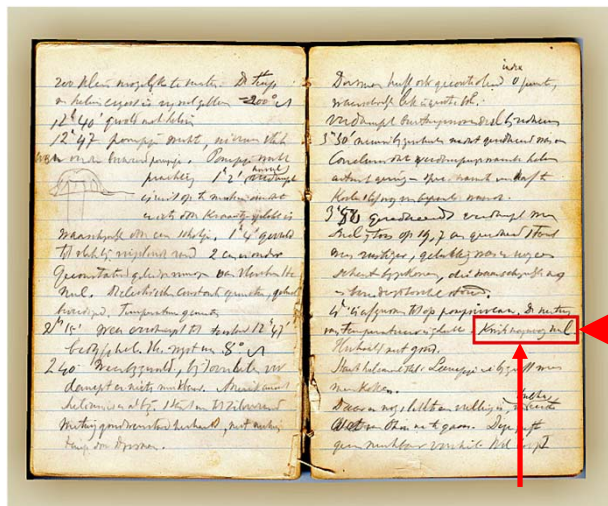
Ontdekking van supergeleiding in 1911

- Omstreeks ~1900:
Wat gebeurt er met de weerstand van een metaal wanneer $T \rightarrow 0$?
 - toename verstrooiingstijd τ : $\rho \rightarrow 0$??
 - afname mobiliteit: $\rho \rightarrow \infty$??
- 1911 Kamerlingh Onnes
 - weerstand verdwijnt abrupt

H. Kamerlingh Onnes
1853-1926
Nobelprijs 1913



G. Holst
1886-1968

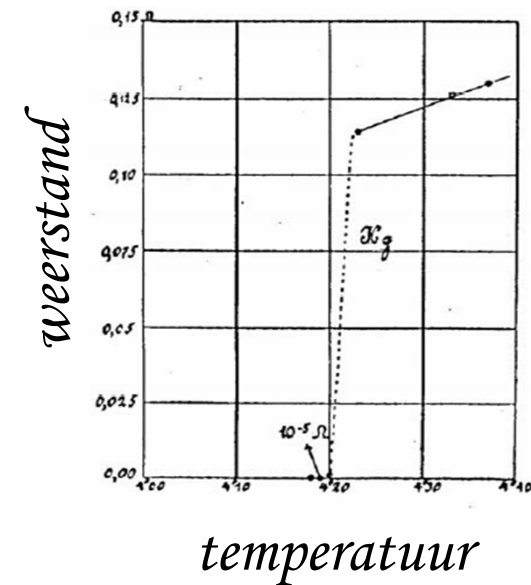


kwik nagenoeg nul

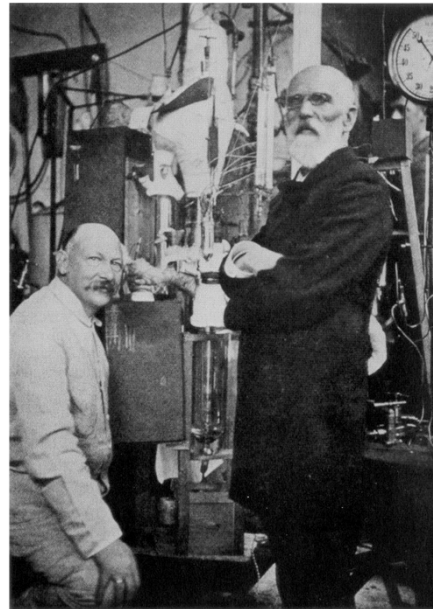
kwikzilver
 $T_s = 4.2 \text{ K}$

$$R = 0$$

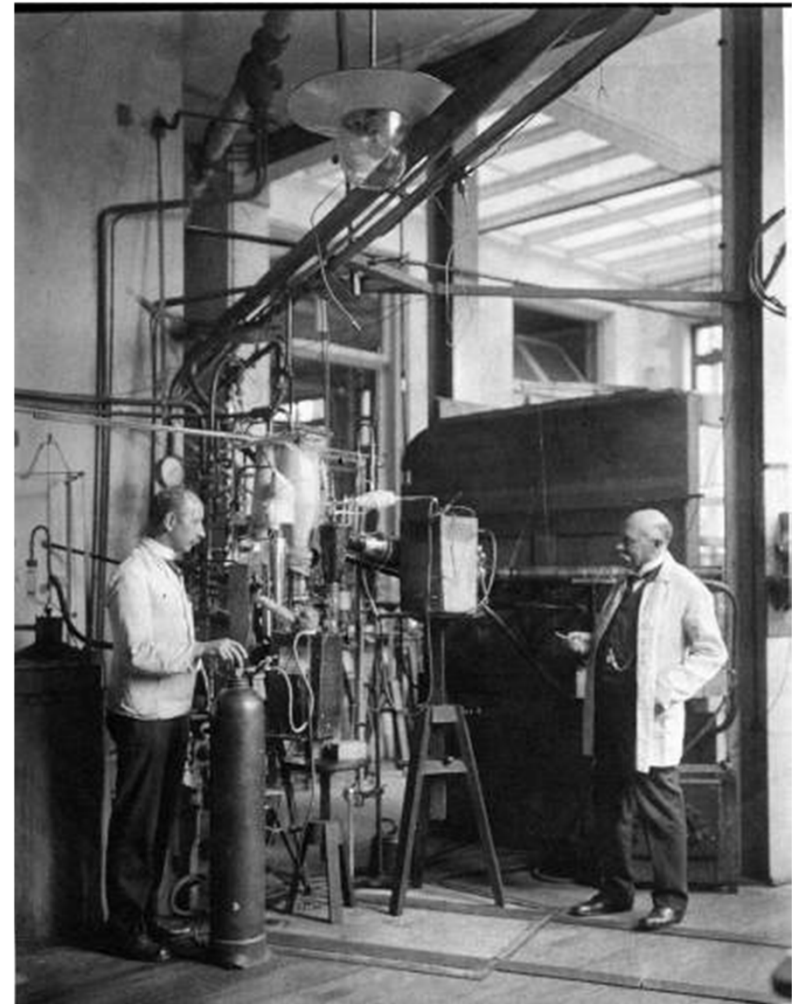
ontdekking van supergeleiding op 8 april 1911
Van Delft & Kes,
Physics Today,
Sept. 2010



Ontdekking van supergeleiding in 1911



Heike Kamerlingh Onnes met Van der Waals



HKO en Gerrit Jan Flim

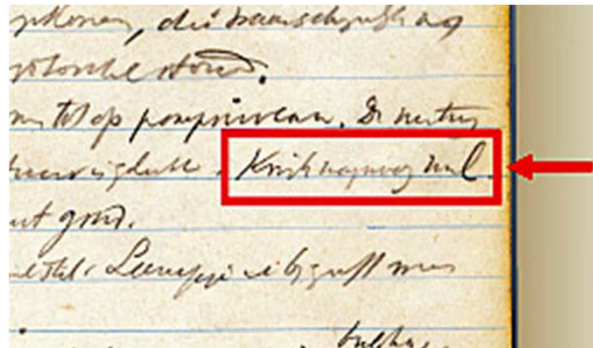


Laboratorium aan de Steenschuur, Leiden

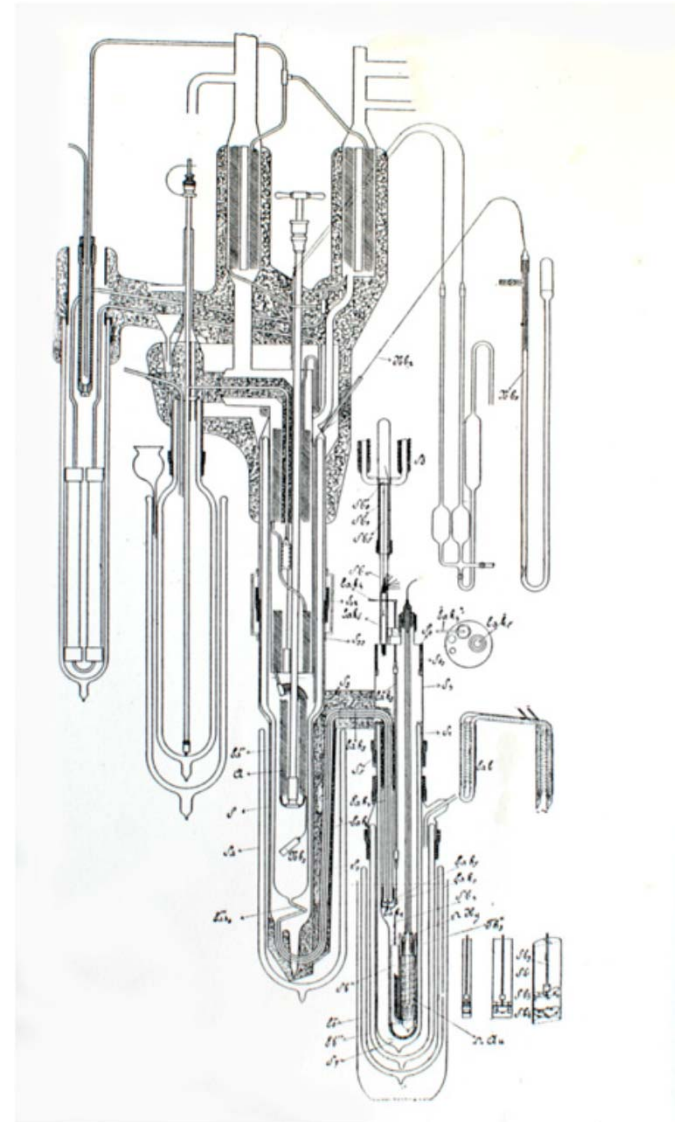
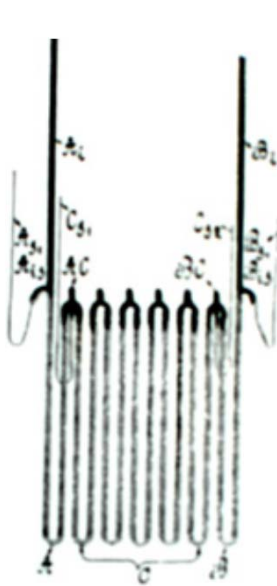
Rapenburg, na de explosie van het kruitschip op 12 jan.1807



Ontdekking van supergeleiding in 1911



kwik
nagenoeg
nul

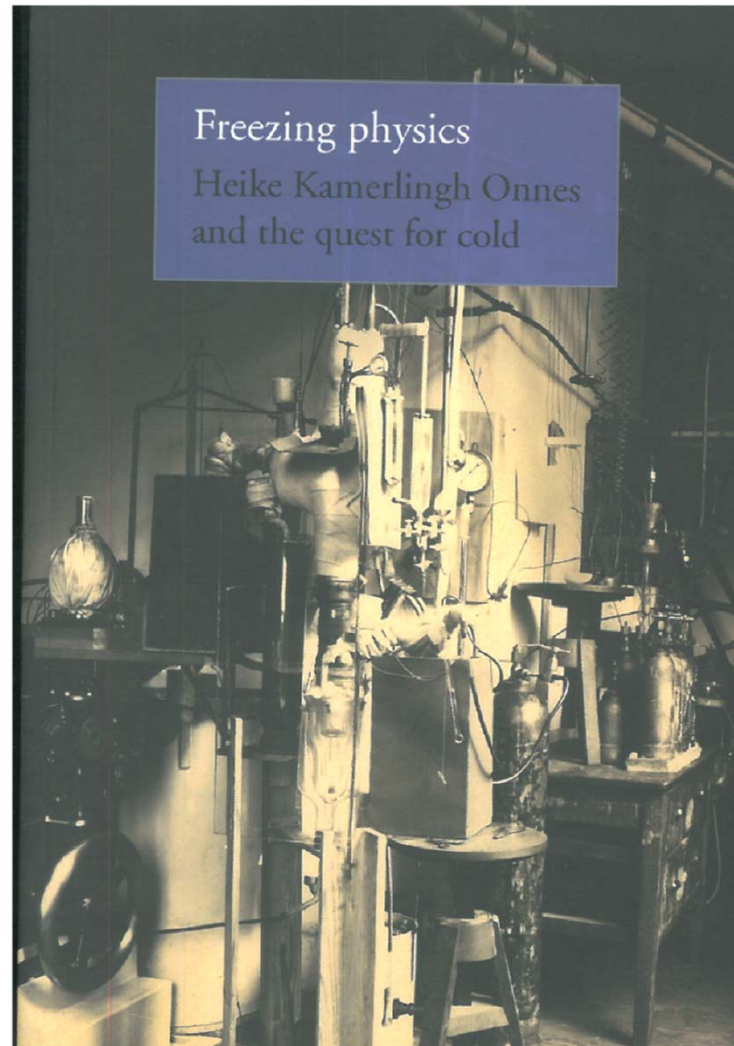


kwik preparaat in glazen capillair

de "cryostaat"



Biografie van Kamerlingh Onnes

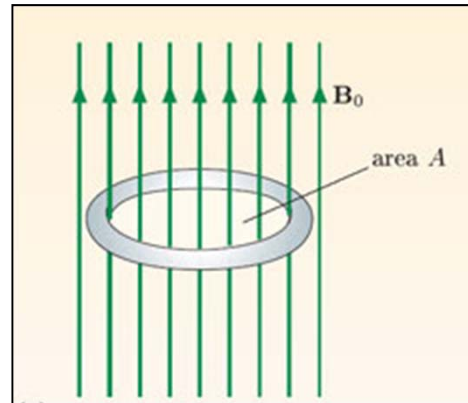


Dirk van Delft,
(Bert Bakker, Amsterdam, 2005)

Weerstand nul & eeuwigdurende stroom

- Magnetische flux in een metalen ring voor $T > T_s$

– flux $\phi = \int \vec{B} \cdot d\vec{A}$



- Magnetische flux voor $T < T_s$
- flux verandering

$\nabla \times \vec{E} = -\frac{d\vec{B}}{dt}$ Maxwell

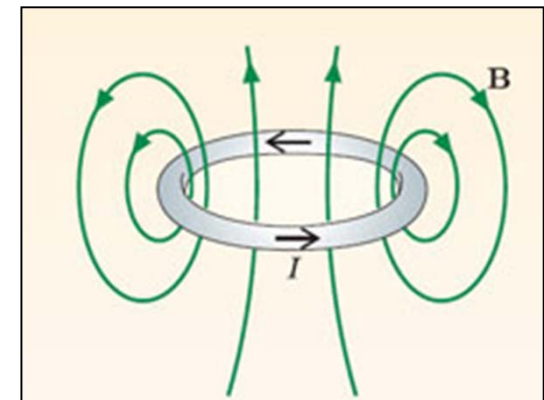
$-\frac{d\phi}{dt} = -\int \frac{d\vec{B}}{dt} \cdot d\vec{A} = \int (\nabla \times \vec{E}) \cdot d\vec{A} = \oint \vec{E} \cdot d\vec{r} = 0$

$\int (\nabla \times \vec{E}) \cdot d\vec{A} = \oint \vec{E} \cdot d\vec{r}$ Stokes

$\vec{E} = 0$

$\vec{j} = \frac{1}{\rho} \vec{E}$

- Voor $T < T_s$: wanneer $B_{\text{ext}} \rightarrow 0$ dan ontstaat een eeuwigdurende stroom want flux ϕ is constant



Het Meissner-Ochsenfeld effect 1933

Meissner en Ochsenfeld in Naturwissenschaften 21, 787 (1933)

Ein neuer Effekt bei Eintritt der Supraleitfähigkeit.

Bringt man einen zylindrischen Supraleiter, z. B. Blei oder Zinn, oberhalb seines Sprungpunktes in ein senkrecht zu seiner Achse gerichtetes homogenes Magnetfeld, so gehen die Kraftlinien wegen der sehr geringen Suszeptibilität des Supraleiters (Zinn ist schwach paramagnetisch, Blei diamagnetisch) fast ungehindert durch sie hindurch. Nach den bisherigen Anschauungen war zu erwarten, daß die Kraftlinienverteilung unverändert bleibt, wenn man die Temperatur, ohne an dem äußeren Magnetfeld etwas zu ändern, bis unter den Sprungpunkt erniedrigt. Unsere Versuche an Zinn und Blei haben im Gegensatz hierzu folgendes ergeben:

1. Beim Unterschreiten des Sprungpunktes ändert sich die Kraftlinienverteilung in der äußeren Umgebung der Supraleiter und wird nahezu so, wie es bei der Permeabilität 0, also der diamagnetischen Suszeptibilität $-\frac{1}{4\pi}$, des Supraleiters zu erwarten wäre.

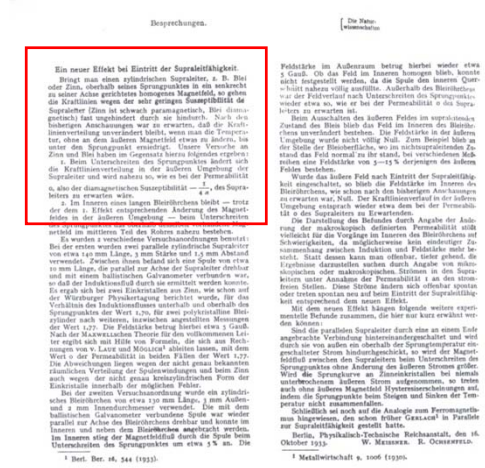
2. Im Inneren eines langen Bleiröhrchens bleibt — trotz der dem 1. Effekt entsprechenden Änderung des Magnetfeldes in der äußeren Umgebung — beim Unterschreiten



W. Meissner
1882-1974

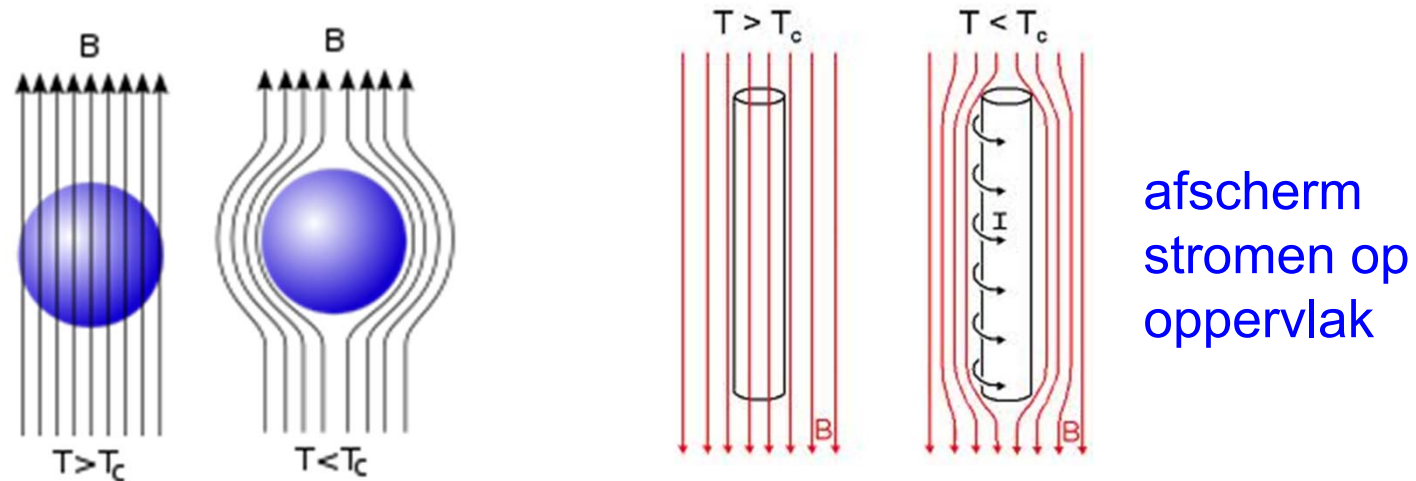


R. Ochsenfeld
1901-1993



Het Meissner-Ochsenfeld effect

- Een supergeleider stoot een zwak magneetveld uit bij koelen naar $T < T_c$



- Perfecte diamagneet
 - magneetveld geïnduceerd door afschermstromen compenseert aangelegde magneetveld

$$\vec{B} = \mu_0(\vec{M} + \vec{H}) = 0 \quad \Rightarrow \quad \vec{M} = -\vec{H} \quad \chi_M = \left. \frac{dM}{dH} \right|_{H=0} = -1$$

susceptibiliteit



Electrodynamica supergeleider 1934



H. London 1907-1970
F. London 1900-1954

- London vergelijking

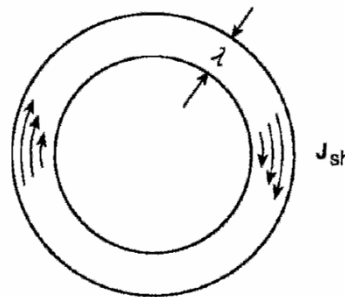
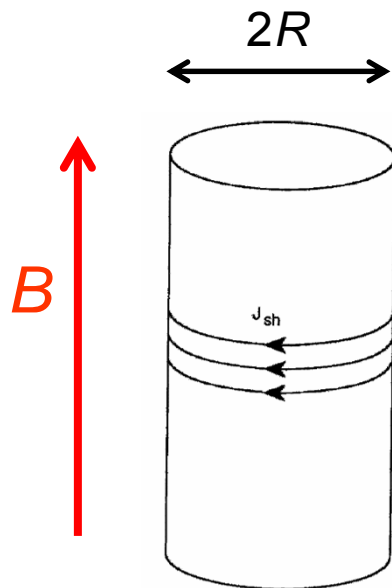
~~$$\vec{j} = -\frac{ne^2\tau}{m}\vec{E}$$~~



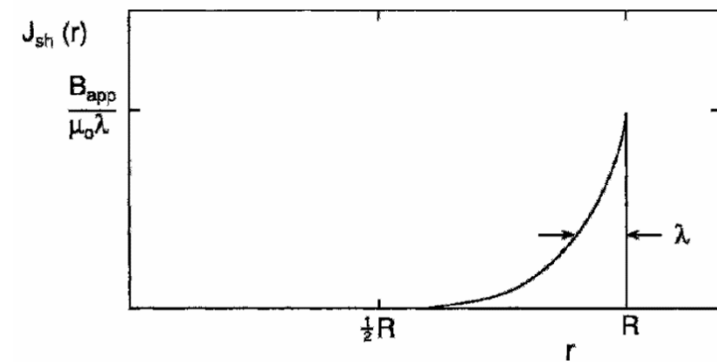
$$\vec{j} = -\frac{ne^2}{m}\vec{A}$$

$$\vec{B} = \nabla \times \vec{A}$$

A = vector potentiaal



boven aanzicht



penetratie diepte

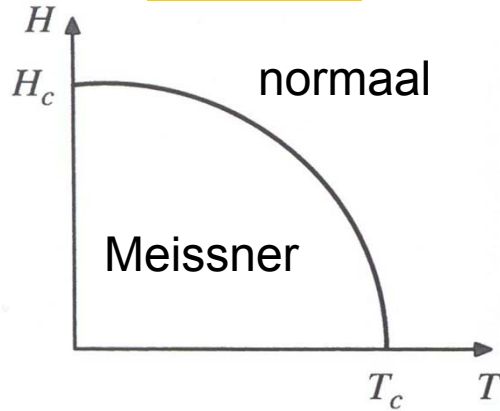
$$\lambda \sim 1 \mu\text{m}$$

Meissner effect

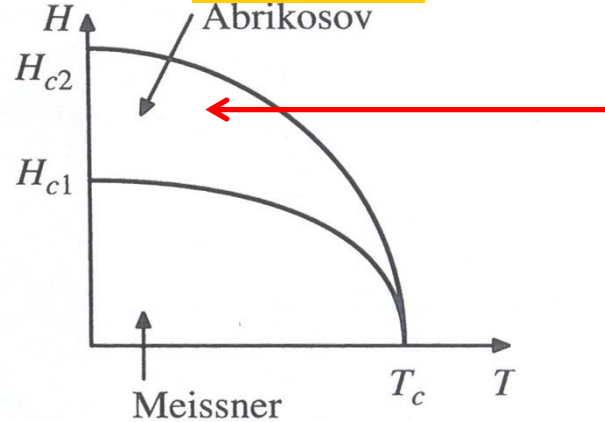


Type I en Type II supergeleiders

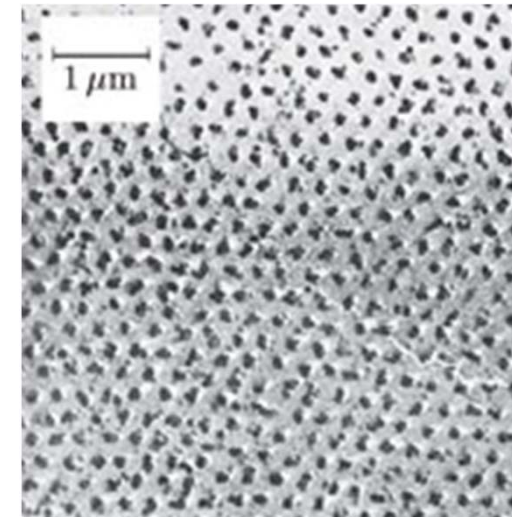
Type I



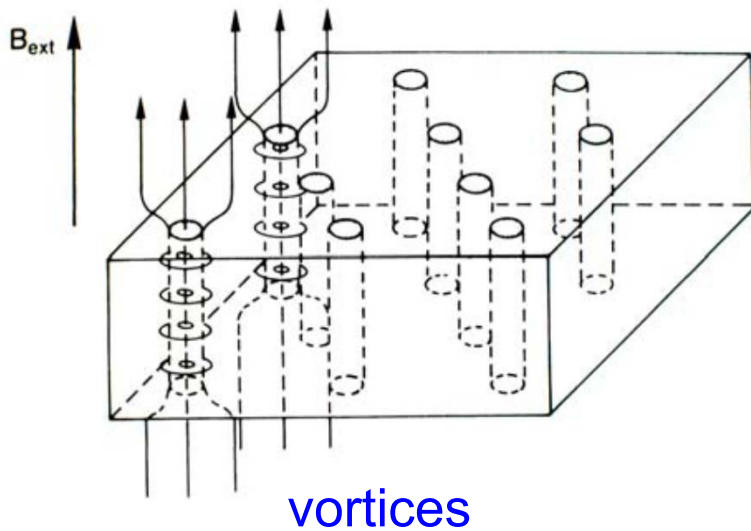
Type II



$B = 20 \text{ mT}$



Abrikosov fase
fluxlijn rooster



vortices



A. Abrikosov
1928-...
Nobelprijs 2003

$$a_{\Delta} = \left(\frac{4}{3}\right)^{1/4} \left(\frac{\Phi_0}{B}\right)^{1/2}$$

$$\Phi_0 = \frac{h}{2e} \quad \text{flux quantum}$$



Het “standaard” model voor supergeleiding

1957: De BCS theorie voor supergeleiding



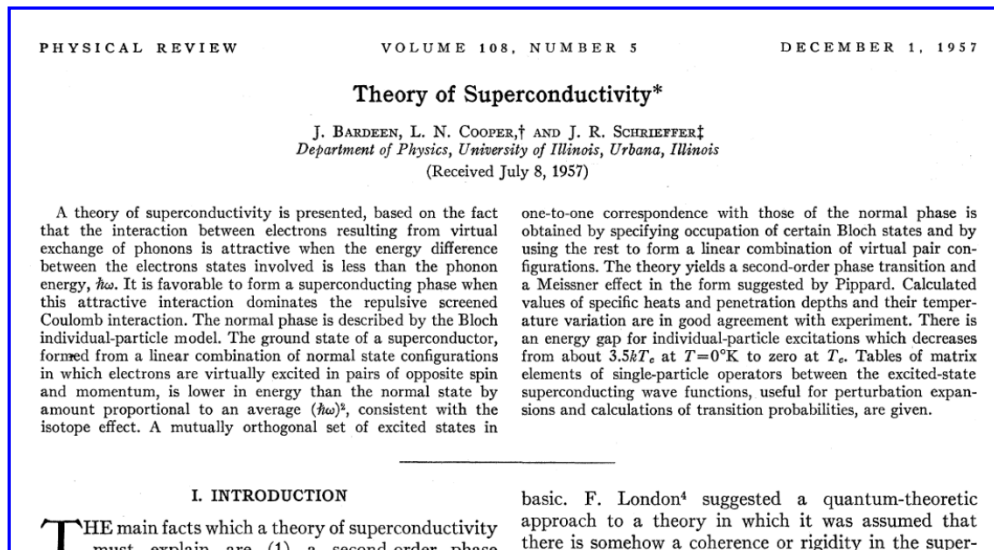
John Bardeen
1908-1991



Leon Cooper
1930- ...



Robert Schrieffer
1931- ...

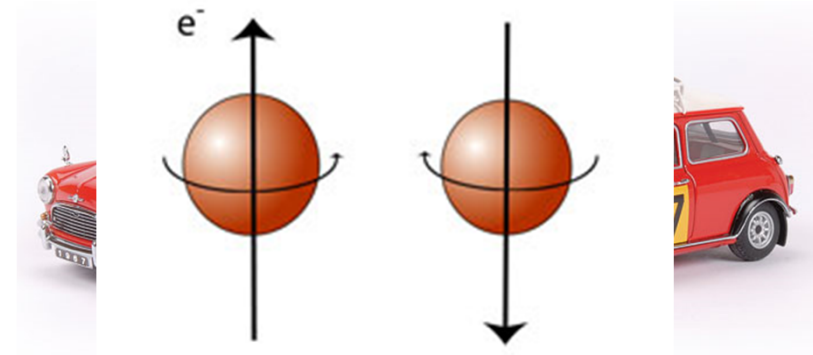


Nobelprijs 1972
"for their jointly developed theory of superconductivity, usually called the BCS-theory"



Het “standaard” model

- Attractieve interactie tussen elektronen door roostertrillingen
 - Cooper paren
 - spin-singlet toestand



animatie: superconductors.org

spin-singlet paar
 $L=0, S=0$

$$\frac{1}{\sqrt{2}} (\downarrow\uparrow - \uparrow\downarrow)$$

BCS → formule voor T_s

$$T_s = 1.13 \frac{\hbar\omega_D}{k_B} e^{-1/N(E_F)V}$$

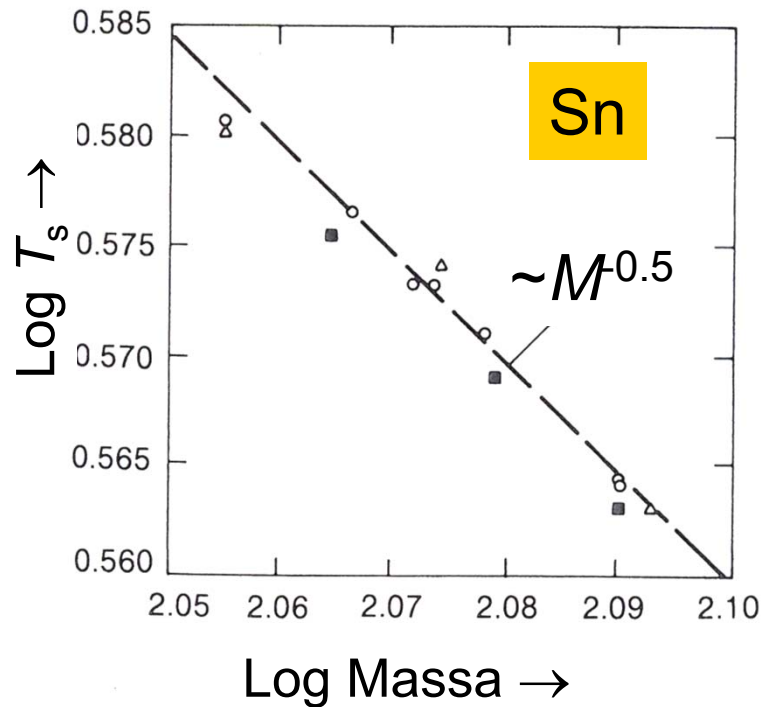
$$T_s = 1.13 \times \theta_D \times e^{-1/N(E_F)V}$$

$V =$
 interactie
 parameter



Voorspelling van de BCS theorie: isotoop effect

T_s als functie van de atomaire massa M



$$\omega_D \propto \sqrt{\frac{1}{M}}$$

$$T_s = 1.13 \frac{\hbar \omega_D}{k_B} e^{-1/N(E_F)V}$$

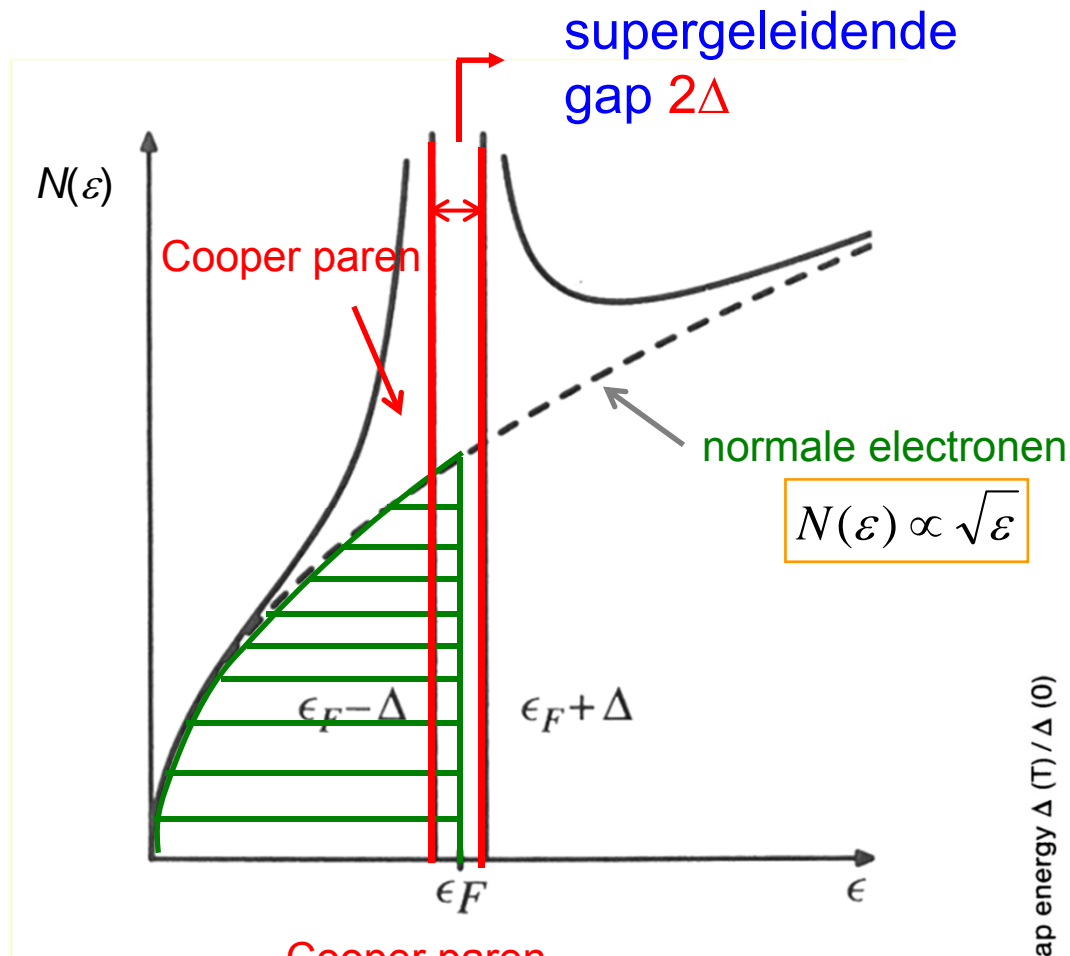
$$T_c \propto M^{-\alpha} \text{ with } \alpha \approx 0.5$$

	T_c (K)	α
Zn	0.9	0.45
Pb	7.2	0.49
Hg	4.2	0.49

Ibach & Lüth,
Solid State Physics
(Springer, 2002)

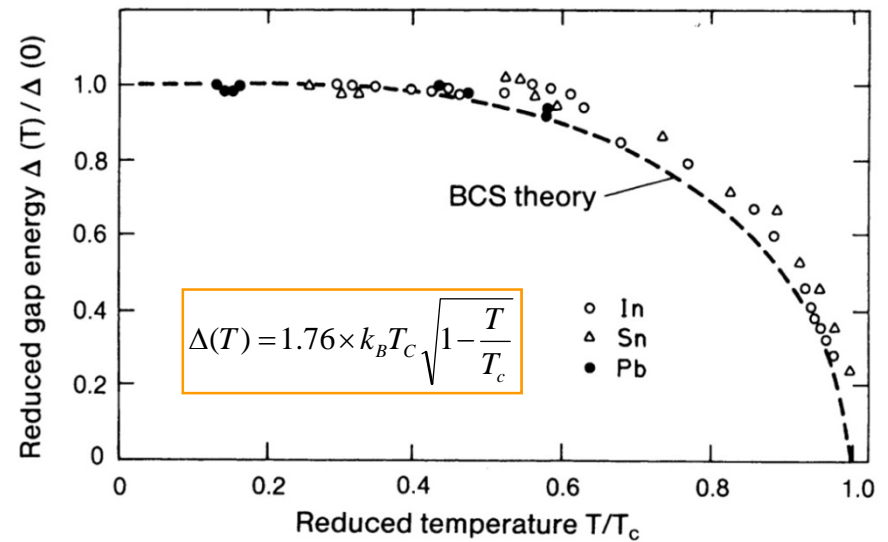


Voorspelling van de BCS theorie: supergeleidende gap



Cooper paren
kunnen niet verstrooien
 $R = 0$

Temperatuur afhankelijkheid van de gap



Hoge temperatuur supergeleiding



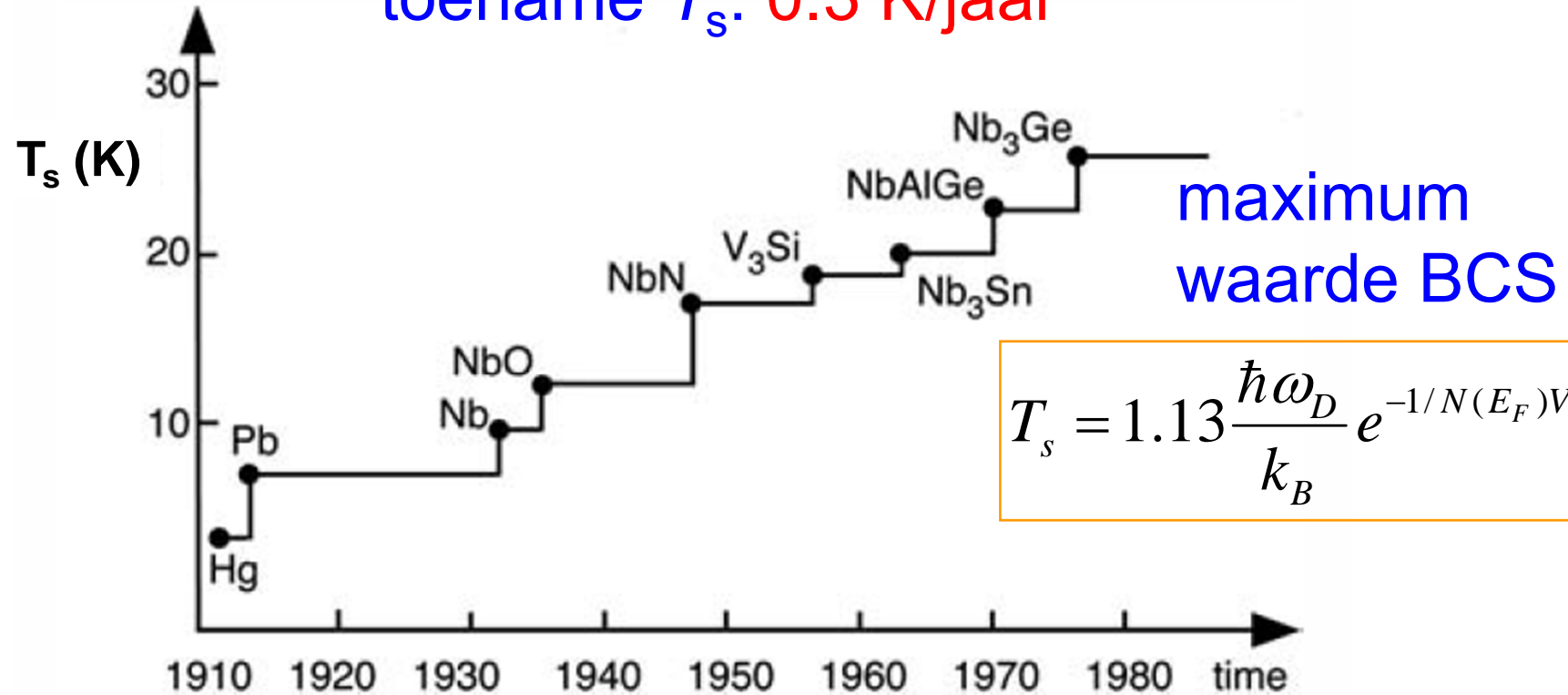
Supergeleiding in het periodiek systeem

H												He																							
Li 0.0004 14 30		Be 0.026		<div style="display: flex; justify-content: space-around; align-items: center;"> <div style="border: 1px solid black; padding: 5px; background-color: yellow;">$p = 1 \text{ bar}$</div> <div style="border: 1px solid black; padding: 5px; background-color: lightgreen;">hoge druk</div> </div> <div style="display: flex; justify-content: space-around; align-items: center; margin-top: 10px;"> <div style="border: 1px solid black; padding: 5px; background-color: yellow;"> $T_c(K)$ $T_c^{max}(K)$ $P(GPa)$ </div> <div style="border: 1px solid black; padding: 5px; background-color: lightgreen;"> $T_c^{max}(K)$ $P(GPa)$ </div> </div>										B 11 250		C		N		O 0.6 100		F		Ne											
Na		Mg												Al 1.14		Si 8.2 15.2		P 13 30		S 17.3 190		Cl		Ar											
K		Ca 25 161		Sc 19.6 106		Ti 0.39 3.35 56.8		V 5.38 16.5 180		Cr		Mn		Fe 2.1 21		Co		Ni		Cu		Zn 0.875		Ga 1.091 7 1.4		Ge 5.35 11.5		As 2.4 32		Se 8 150		Br 1.4 100		Kr	
Rb		Sr 7 50		Y 19.5 115		Zr 0.596 11 30		Nb 9.50 9.9 10		Mo 0.92 10		Tc 7.77		Ru 0.51		Rh .00033		Pd		Ag		Cd 0.56		In 3.404		Sn 3.722 5.3 11.3		Sb 3.9 25		Te 7.5 35		I 1.2 25		Xe	
Cs 1.3 12		Ba 5 18		insert La-Lu		Hf 0.12 8.6 62		Ta 4.483 4.5 43		W 0								Pt		Au		Hg- α 4.153		Tl 2.39		Pb 7.193		Bi 8.5 9.1		Po		At		Rn	
Fr		Ra		insert Ac-Lr		Rf		Ha																											
La-fcc 6.00 13 15		Ce 1.7 5		Pr		Nd		Pm		Sm		Eu 2.75 142		Gd		Tb		Dy		Ho		Er		Tm		Yb		Lu 12.4 174							
Ac		Th 1.368		Pa 1.4		U 0.8(β) 2.4(α) 1.2		Np		Pu		Am 0.79 2.2 6		Cm		Bk		Cf		Es		Fm		Md		No		Lr							



Supergeleiding in metalen

toename T_s : 0.3 K/jaar



Supergeleiding in koper-oxiden: Hoge- T_c supergeleiders

Z. Phys. B – Condensed Matter 64, 189–193 (1986)

Condensed
Zeitschrift
für Physik B Matter
© Springer-Verlag 1986

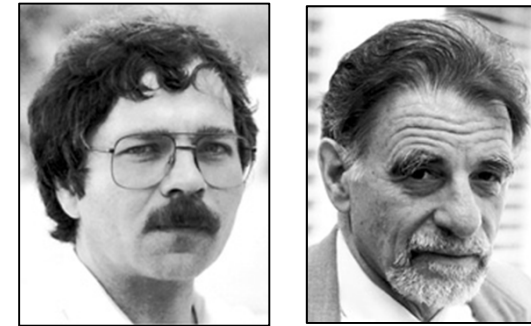
Possible High T_c Superconductivity in the Ba–La–Cu–O System

J.G. Bednorz and K.A. Müller
IBM Zürich Research Laboratory, Rüschlikon, Switzerland

Received April 17, 1986

Metallic, oxygen-deficient compounds in the Ba–La–Cu–O system, with the composition $\text{Ba}_x\text{La}_{5-x}\text{Cu}_5\text{O}_{5(3-y)}$ have been prepared in polycrystalline form. Samples with $x=1$ and 0.75 , $y>0$, annealed below 900°C under reducing conditions, consist of three phases, one of them a perovskite-like mixed-valent copper compound. Upon cooling, the samples show a linear decrease in resistivity, then an approximately logarithmic increase, interpreted as a beginning of localization. Finally an abrupt decrease by up to three orders of magnitude occurs, reminiscent of the onset of percolative superconductivity. The highest onset temperature is observed in the 30 K range. It is markedly reduced by high current densities. Thus, it results partially from the percolative nature, but possibly also from 2D superconducting fluctuations of double perovskite layers of one of the phases present.

- supergeleiding in Ba-La-Cu-O verbinding bij 30 K
- nieuw wereld record T_s na 12 jaar Nb_3Ge
- in $(\text{La,Sr})_2\text{CuO}_4 \rightarrow T_s = 40 \text{ K}$



Nobelprijs 1987

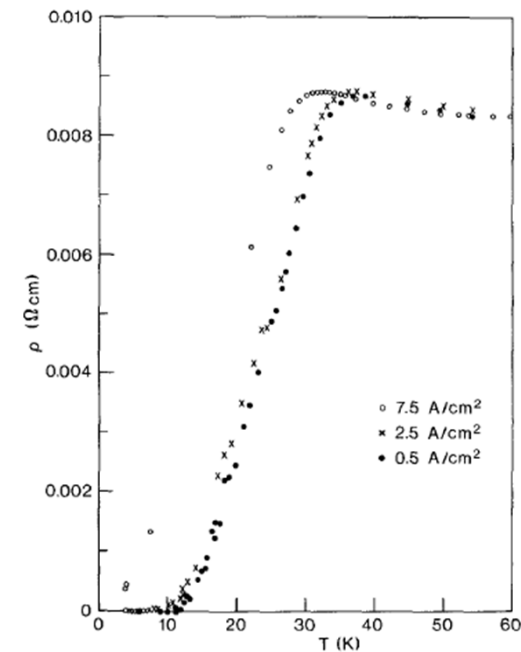


Fig. 3. Low-temperature resistivity of a sample with $x(\text{Ba})=0.75$, recorded for different current densities



Supergeleiding in koper-oxiden: Hoge- T_c supergeleiders

VOLUME 58, NUMBER 9

PHYSICAL REVIEW LETTERS

2 MARCH 1987

Superconductivity at 93 K in a New Mixed-Phase Y-Ba-Cu-O Compound System at Ambient Pressure

M. K. Wu, J. R. Ashburn, and C. J. Torng

Department of Physics, University of Alabama, Huntsville, Alabama 35899

and

P. H. Hor, R. L. Meng, L. Gao, Z. J. Huang, Y. Q. Wang, and C. W. Chu^(a)

Department of Physics and Space Vacuum Epitaxy Center, University of Houston, Houston, Texas 77004

(Received 6 February 1987; Revised manuscript received 18 February 1987)

A stable and reproducible superconductivity transition between 80 and 93 K has been unambiguously observed both resistively and magnetically in a new Y-Ba-Cu-O compound system at ambient pressure. An estimated upper critical field $H_{c2}(0)$ between 80 and 180 T was obtained.

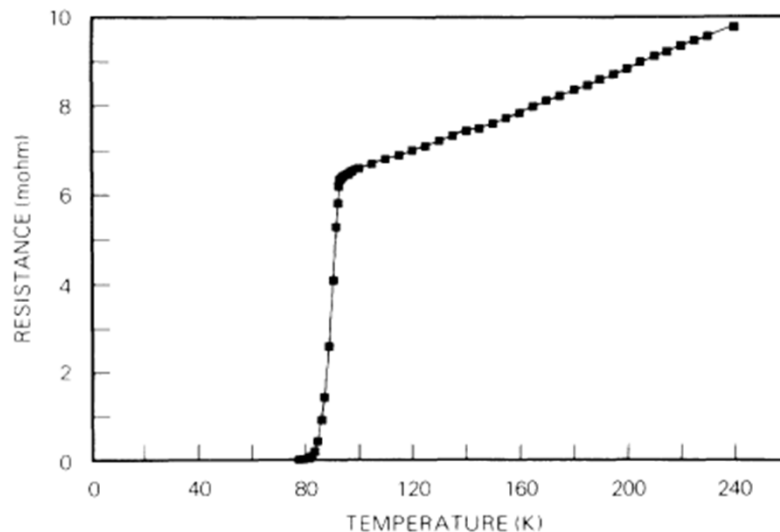
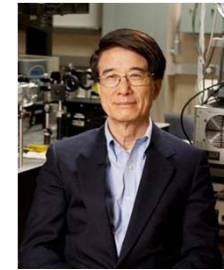


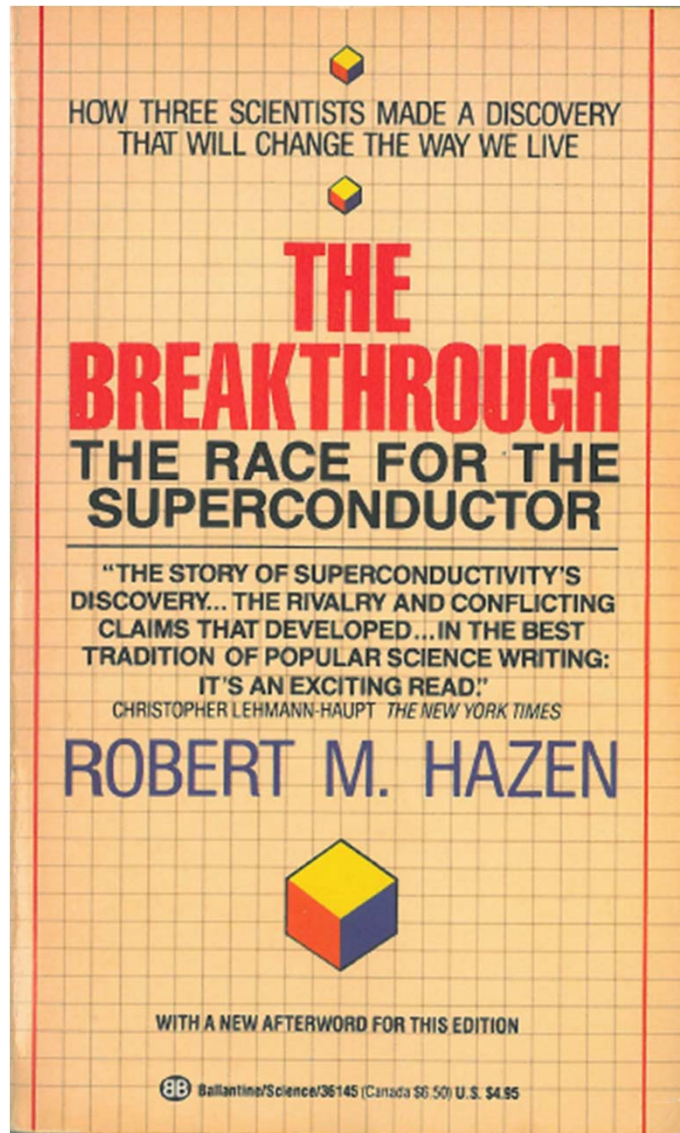
FIG. 1. Temperature dependence of resistance determined in a simple liquid-nitrogen Dewar.



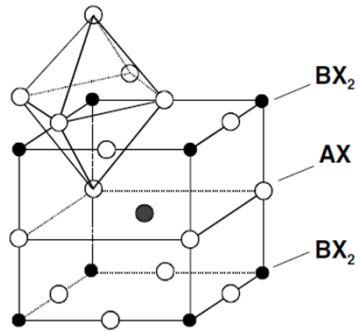
C.W. Paul Chu

- supergeleiding in Y-Ba-Cu-O verbinding bij $T_c = 93$ K
- supergeleiding met vloeibare stikstof (kookpunt 77 K)

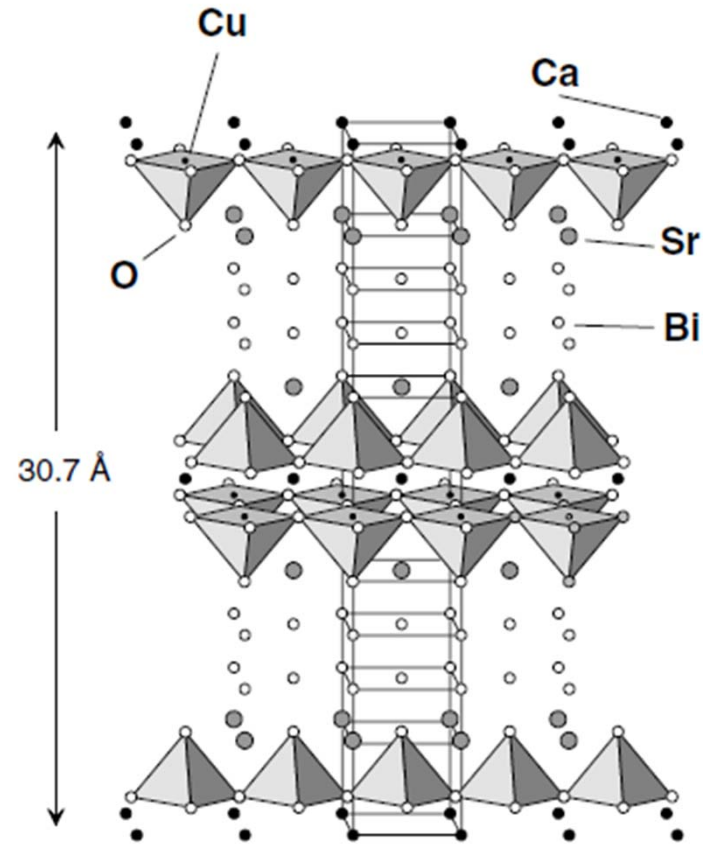
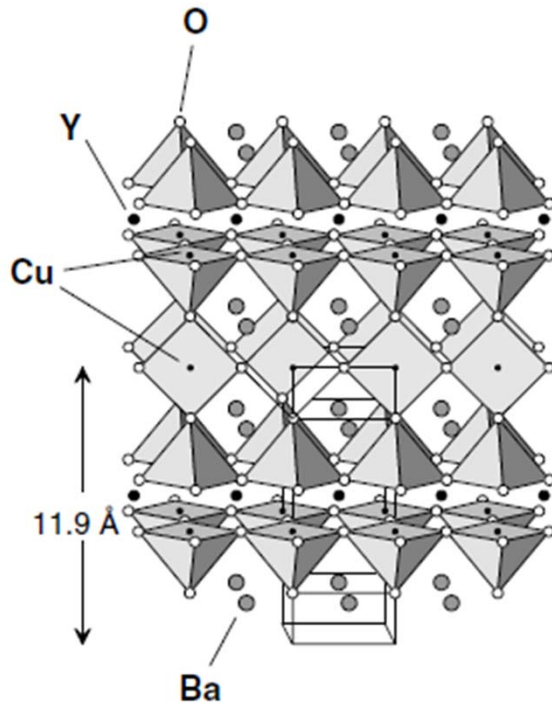
Supergeleiding in koper-oxiden: Hoge- T_c supergeleiders

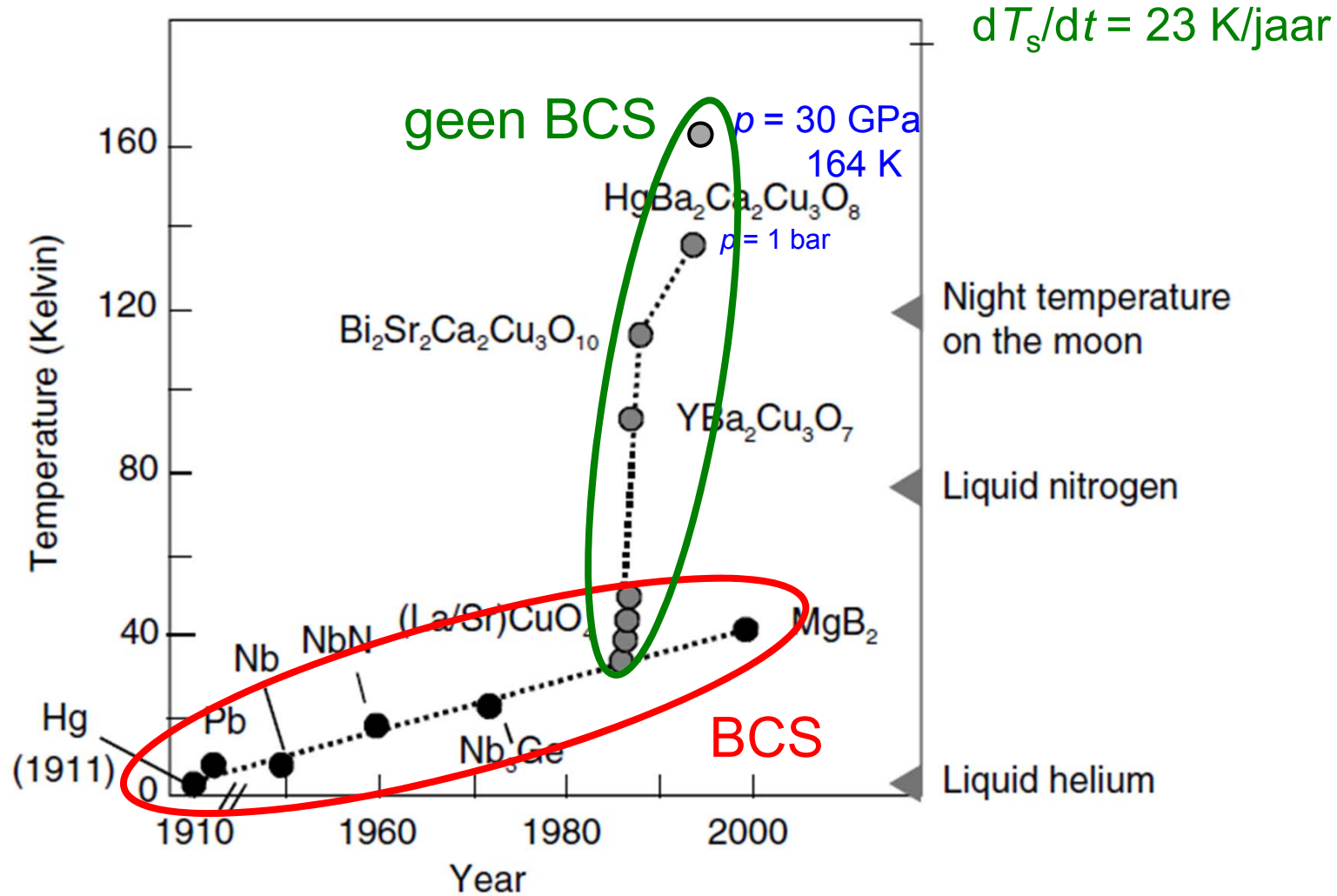


Ballantine books
New York, 1988



- perovskiet bouwstenen ABX_3
B atoom omringd door octahedron met X atomen
- gelaagd materiaal met CuO_2 vlakken



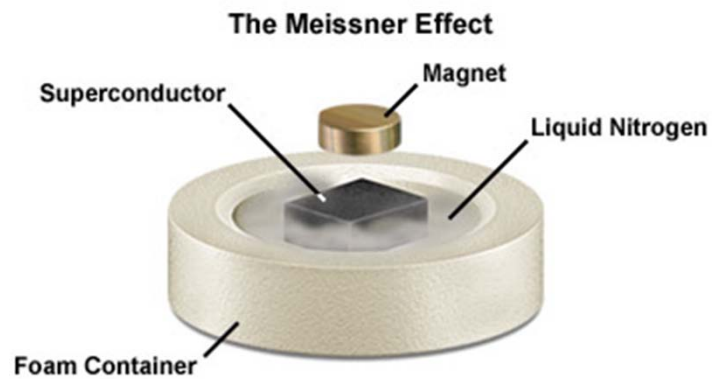
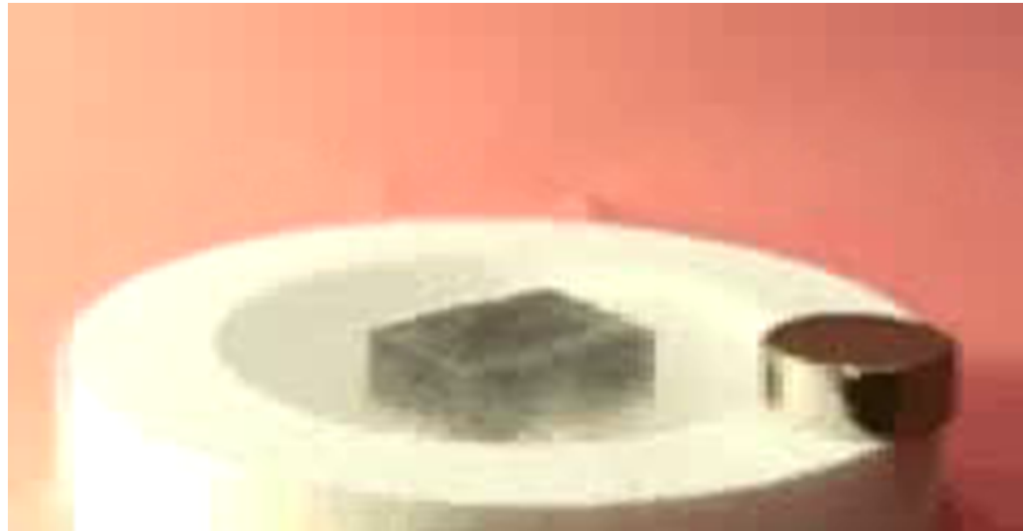


Toepassingen van supergeleiding



Leviteren

zie: www.fys.uio.no/super/levitation/



totaal 202 kg



Supergeleidende zweeftrein



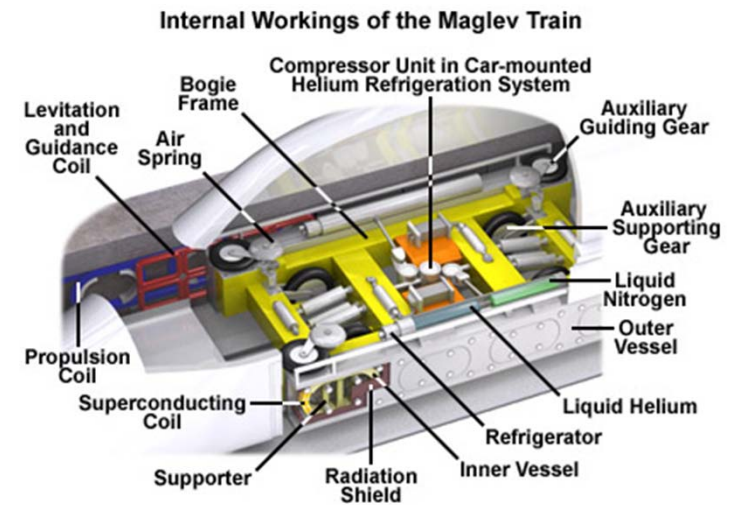
Japan Rail Maglev MLX-01

snelheid: 581 km/h

operationeel 1997

Maglev Washington – New York

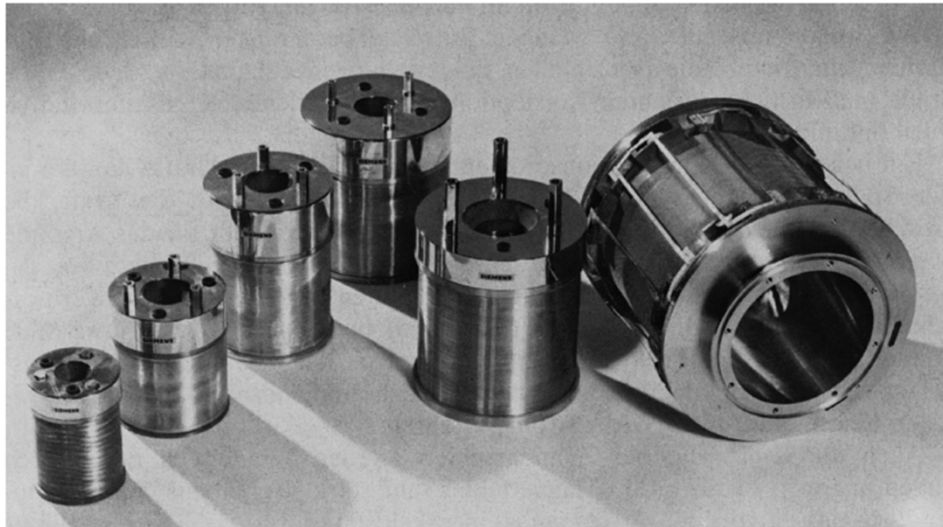
<http://www.usjmaglev.com/usjmaglev/Home.html>



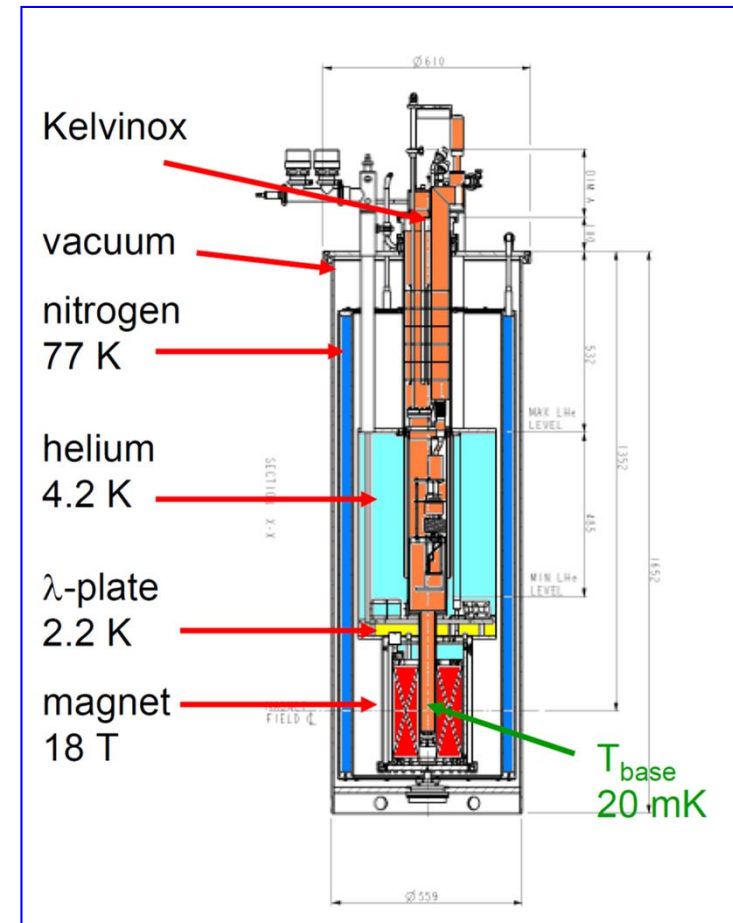
guiding coils system



Supergeleidende magneten



standaard laboratorium magneten



Kelvinox mengkoeler
met supergeleidende magneet UvA
16 T bij 4.2 K
18 T bij 2.2 K

Supergeleidende magneten: quench



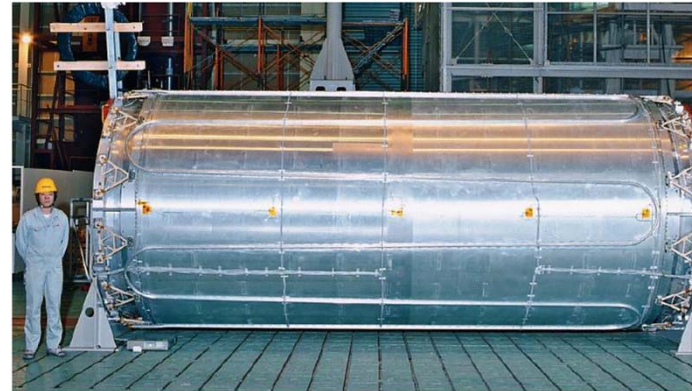
opgeslagen energie $E = \frac{1}{2}LI^2$
~100 kJ voor 10 Tesla



Toepassing supergeleidende magneten: deeltjesversnellers/detectoren



50m³ LHC dipole
13 kA @ 8.3 T



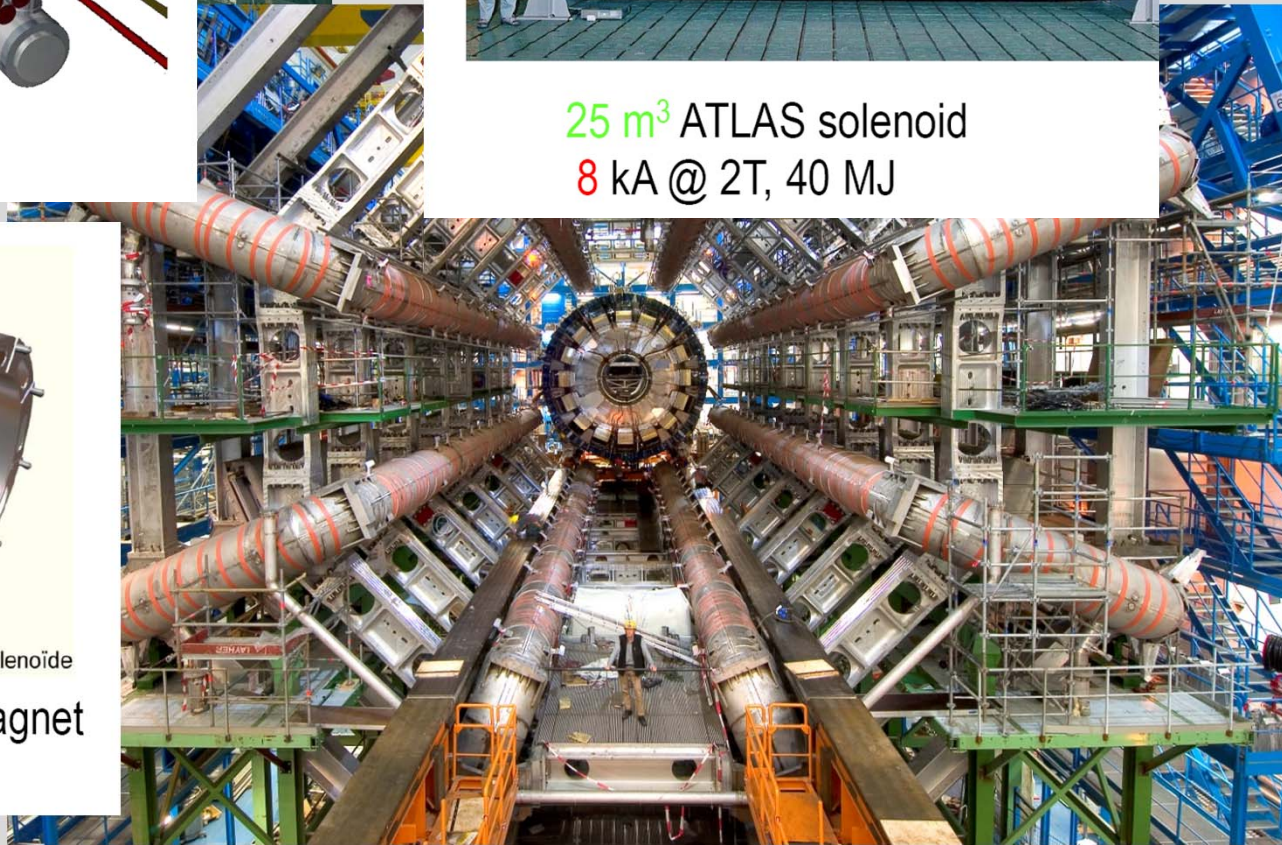
25 m³ ATLAS solenoid
8 kA @ 2T, 40 MJ



CEA - Saclay 12/98
DSM DAPHNIA STCM
K 1000 954

CMS Solenoïde

400 m³ HEF detector magnet
20 kA @ 4 T, 2.6 GJ



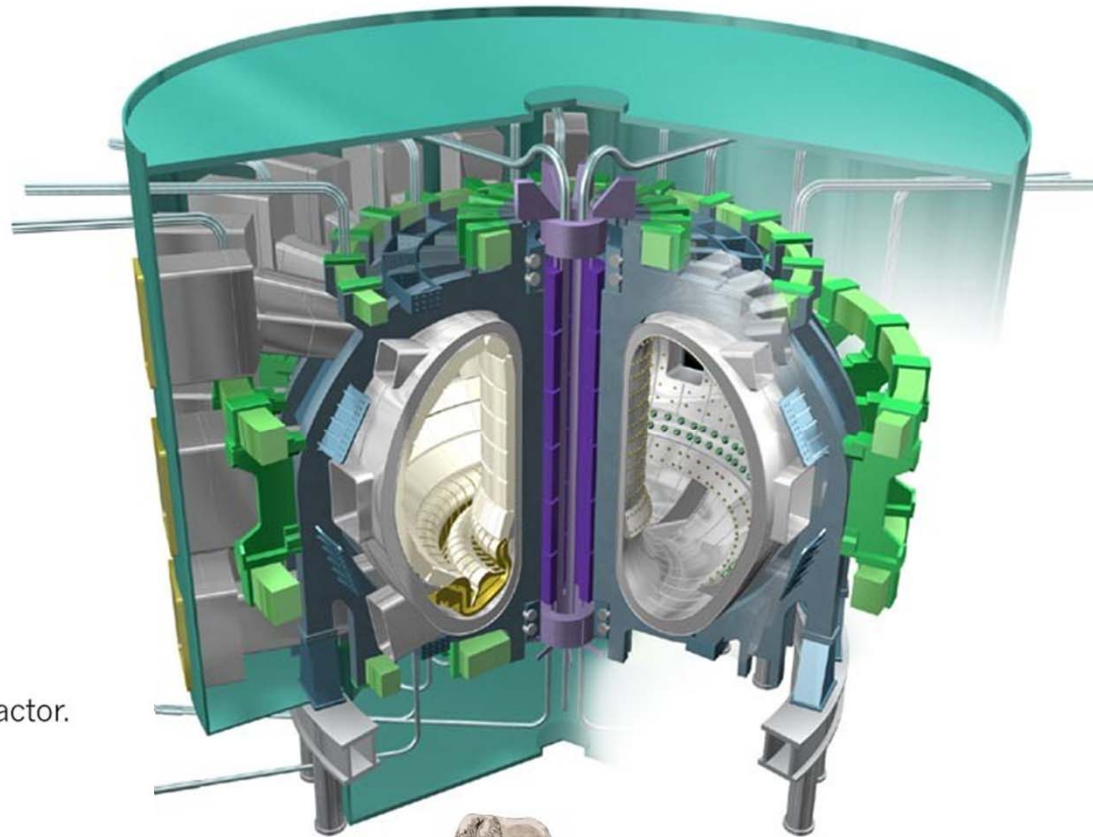
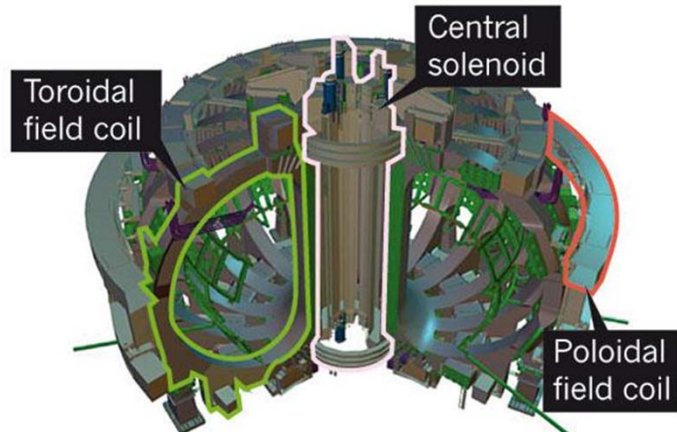
Toepassing supergeleidende magneten: Energie - kernfusie

temperatuur plasma:
100-200 miljoen °C



ITER'S BEATING HEART

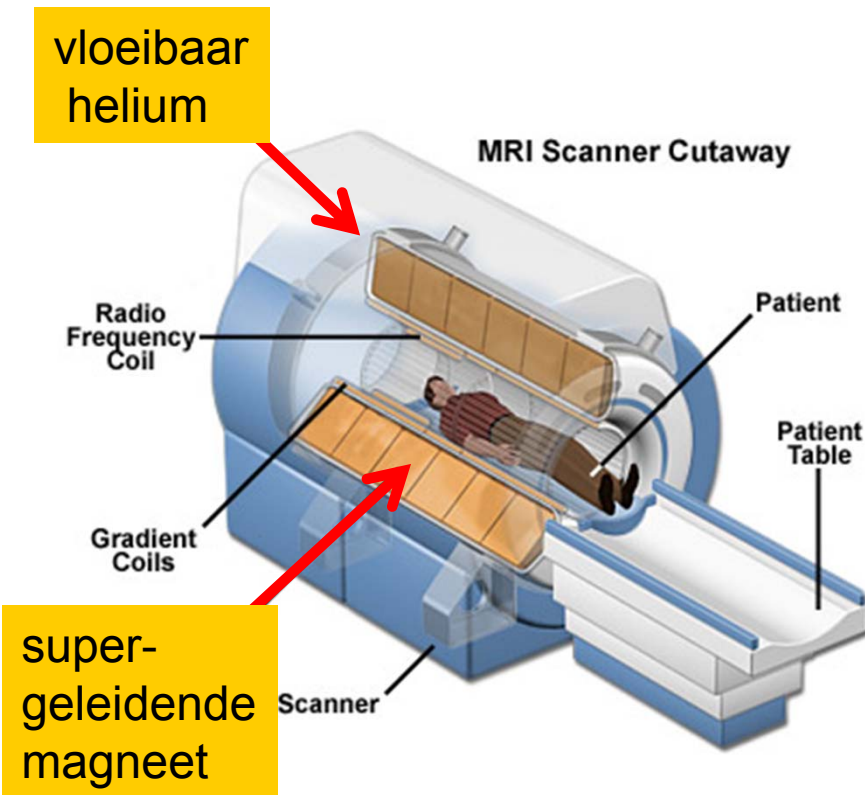
The superconducting cables of the central solenoid are a crucial part of the fusion reactor.



Cadarache, Frankrijk

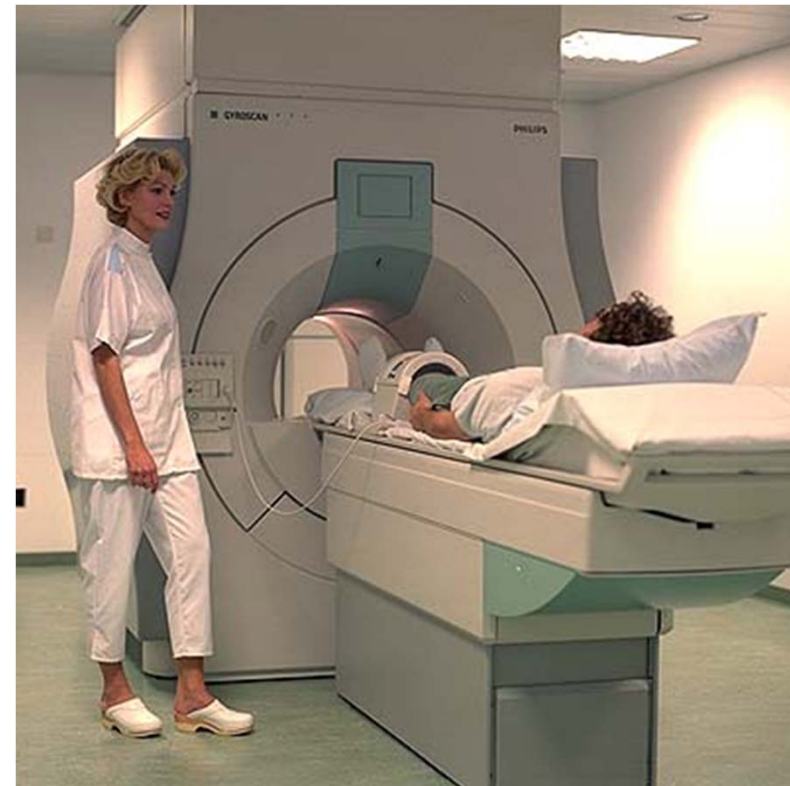
1000 m³ ITER magnets
40-70 kA @ 10-13T , 50 GJ

Toepassing supergeleidende magneten: MRI scanner



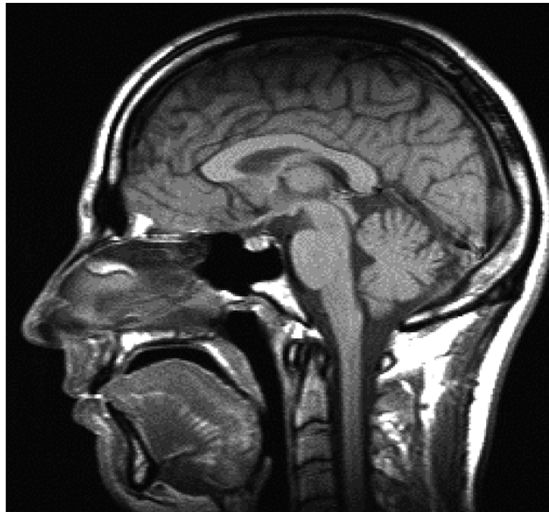
magnetic resonance imaging (=NMR)

- verschuiving resonantie frequentie van proton door verschil in chemische omgeving

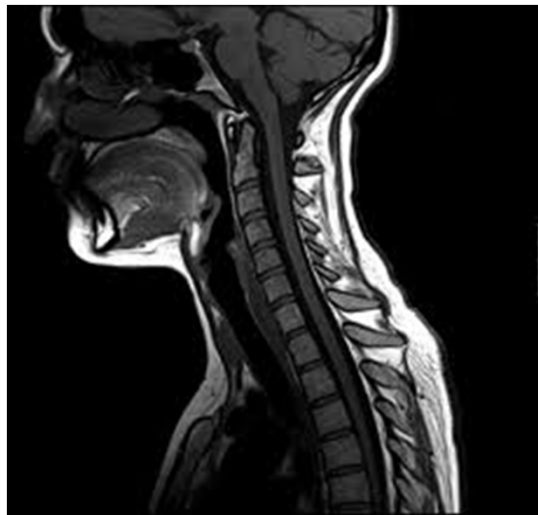


nucleaire spin tomografie
supergeleidende magneet
 $B = 3-8 \text{ T}$

Toepassing supergeleidende magneten: MRI scanner



resolutie 160 μm



Toepassing supergeleidende magneten: MRI scanner ongelukjes

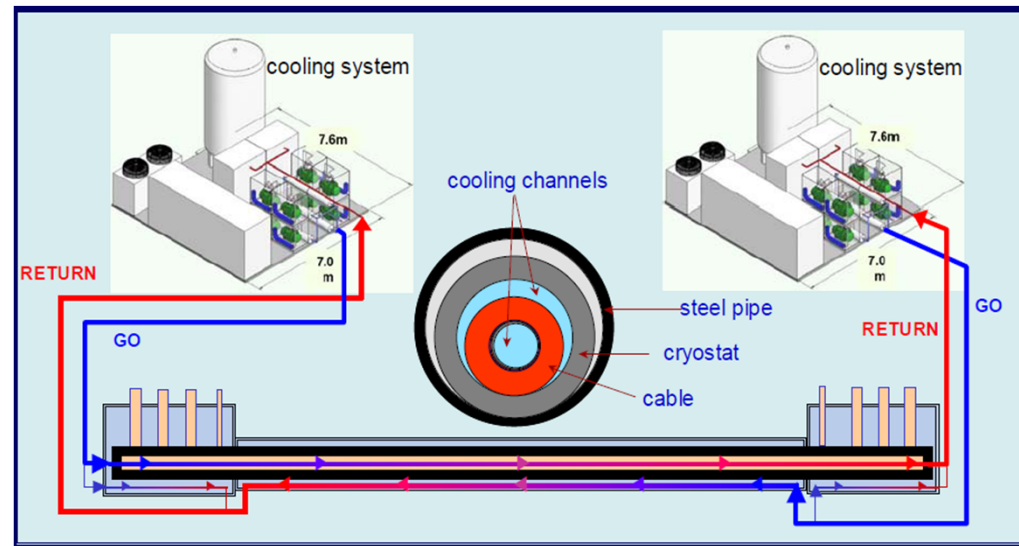
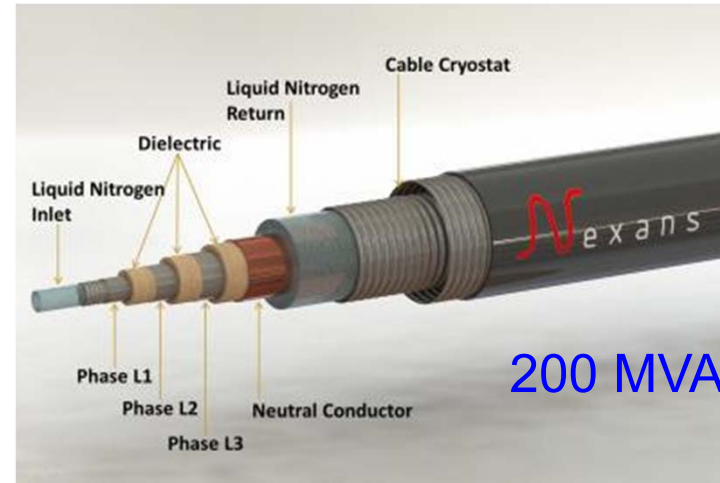


Supergeleidende kabels voor energie transport

Amsterdam!

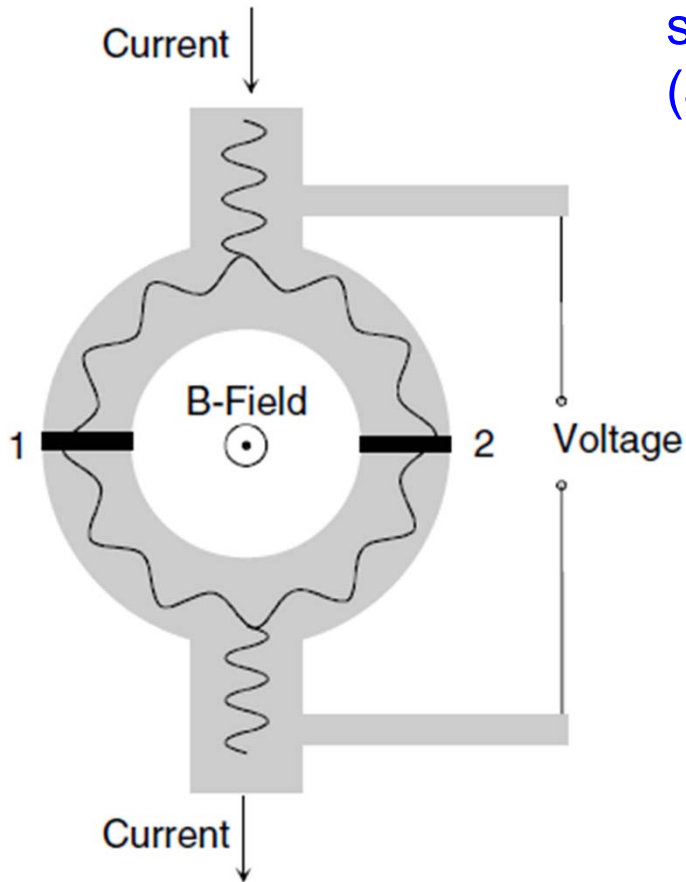


Alliander & Utera



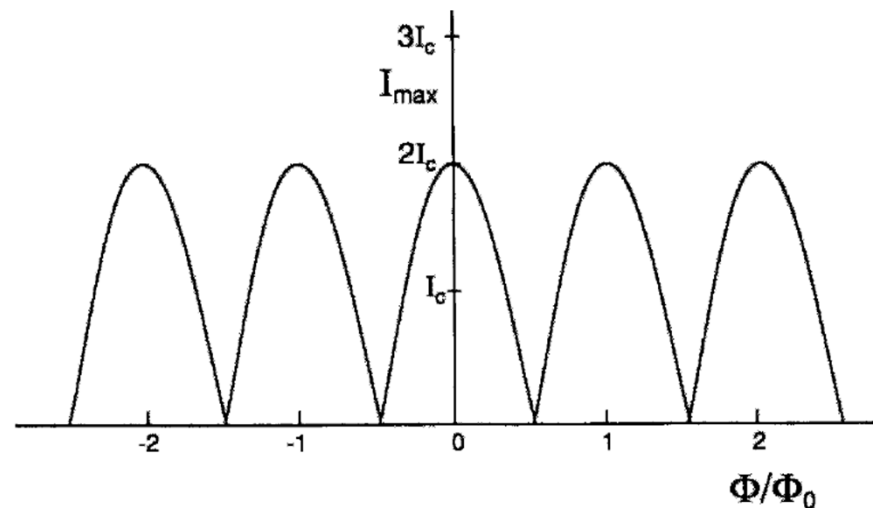
Journal of Physics: Conf. Series 234 (2010) 032037

SQUIDS – Superconducting QUantum Interference Device



supergeleidende ring met 2 “weak links”
(Josephson juncties)

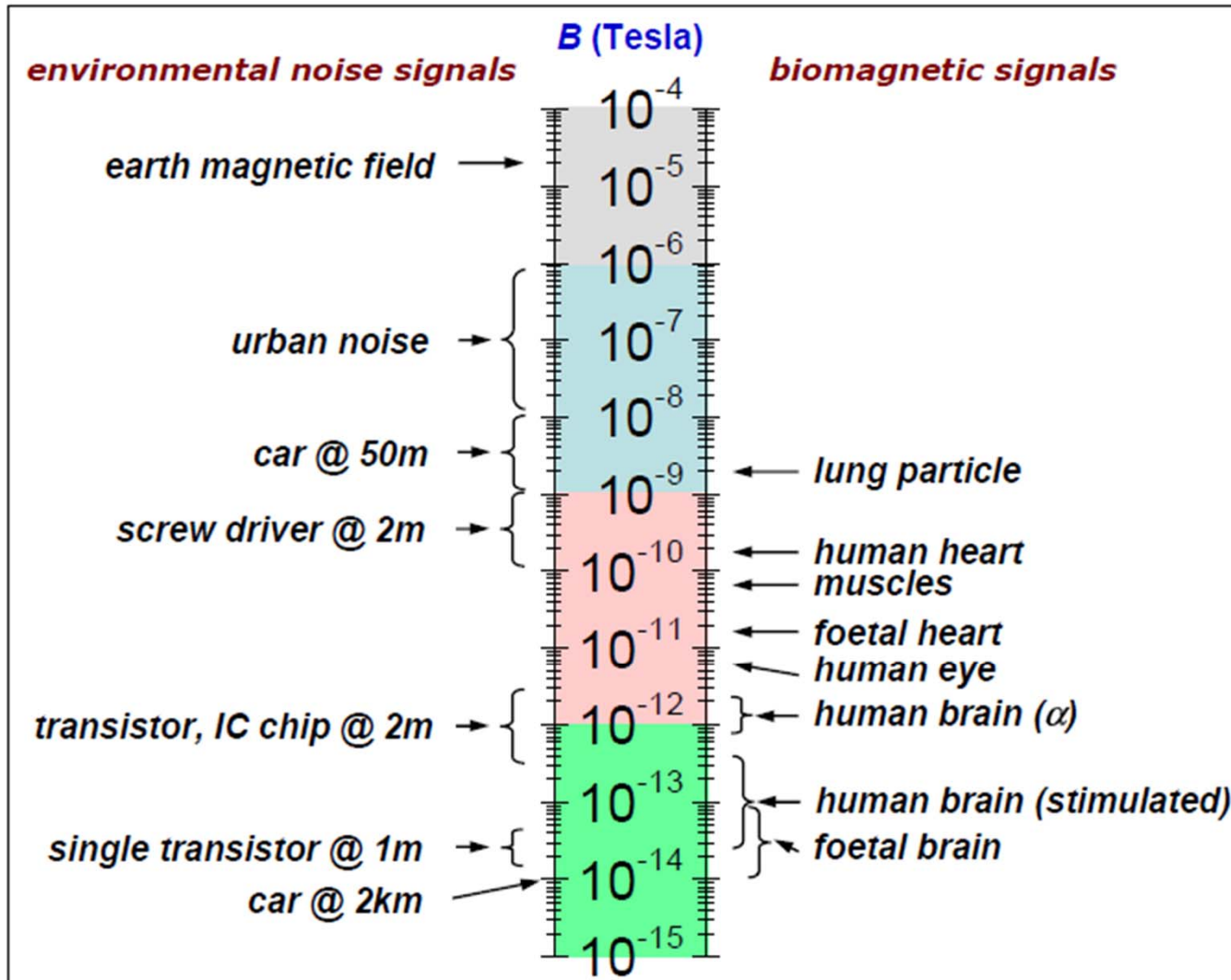
$$I_{\max} = 2I_c \left| \cos\left(\frac{\pi\Phi}{\Phi_0}\right) \right|$$



optica: zelfde patroon als bij
dubbel-spleet experiment (Young)

SQUID gevoeligheid

resolutie $10^{-6} \Phi_0$; voor 1 mm² oppervlak: $B = 10^{-6} \Phi_0 / 10^{-6} \approx 10^{-15}$ Tesla



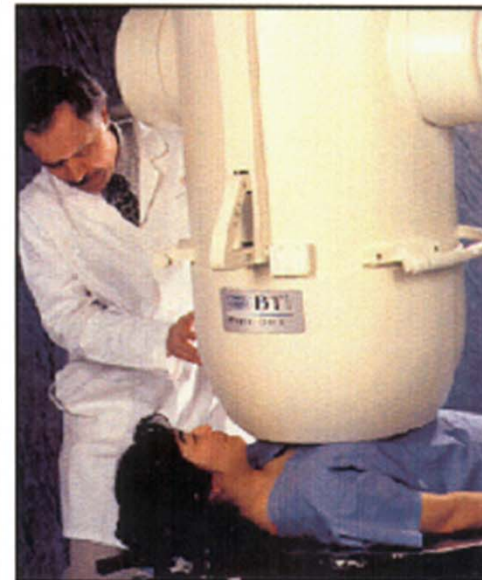
SQUID applications: Multichannel squid systemen



multichannel SQUID systemen
voor magnetoencephalografie en magnetocardiografie



CTF Systems Inc.,
Vancouver, Canada

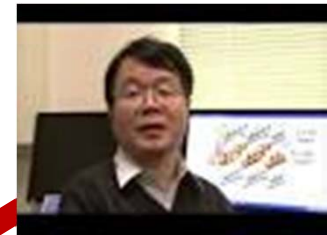
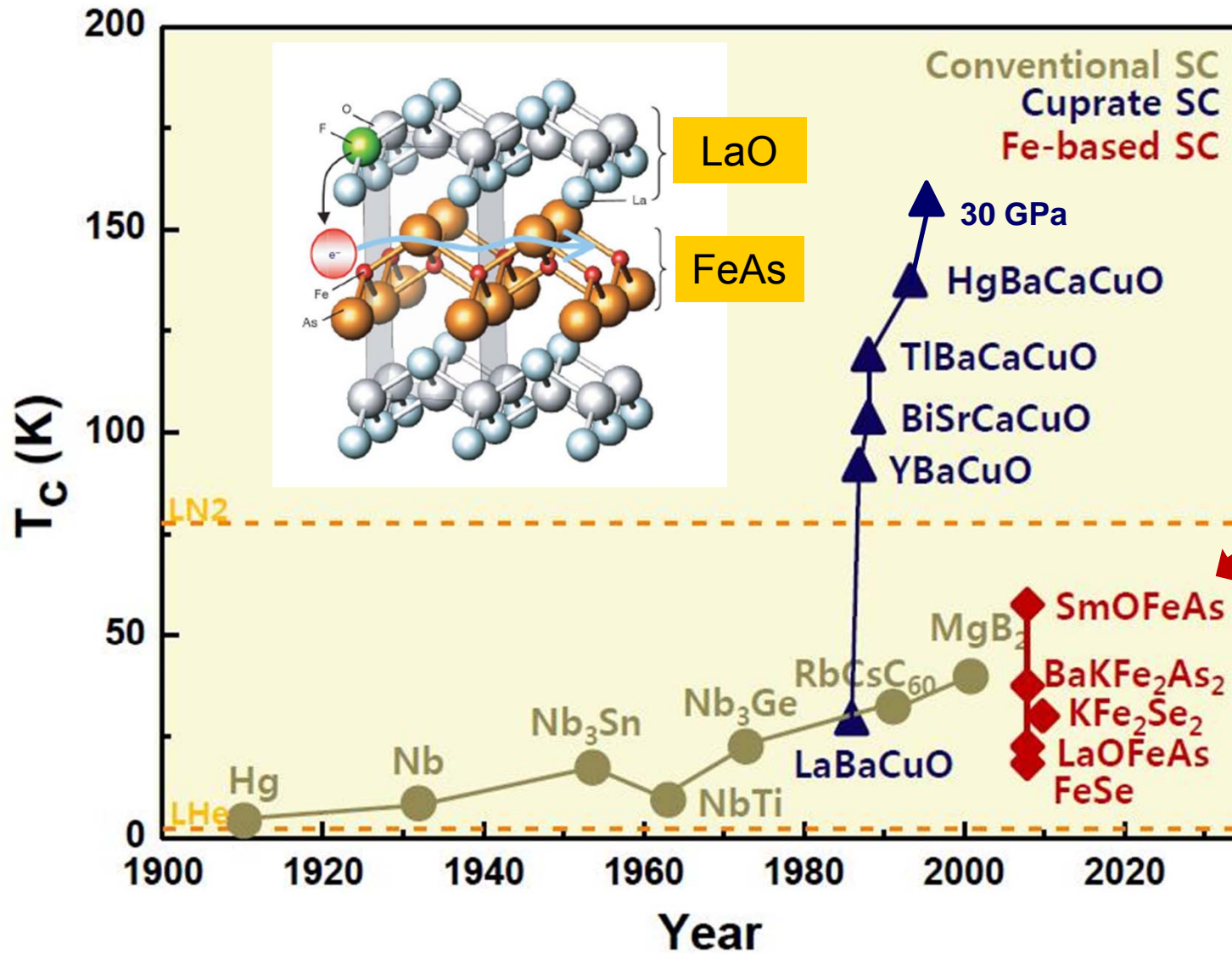


Biomagnetic Technologies,
San Diego, USA

“Hot-topics ” supergeleiding

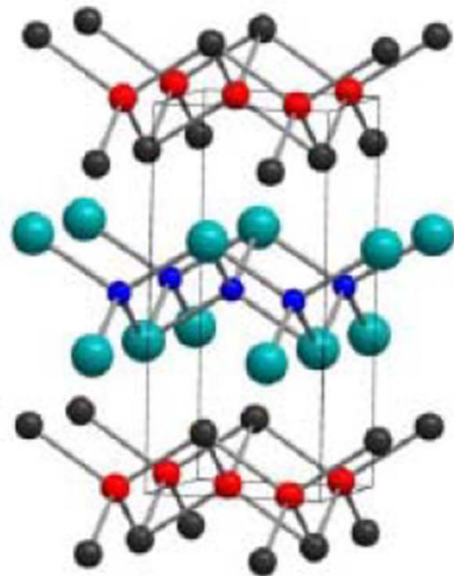


Supergeleiding in ijzerpnictiden

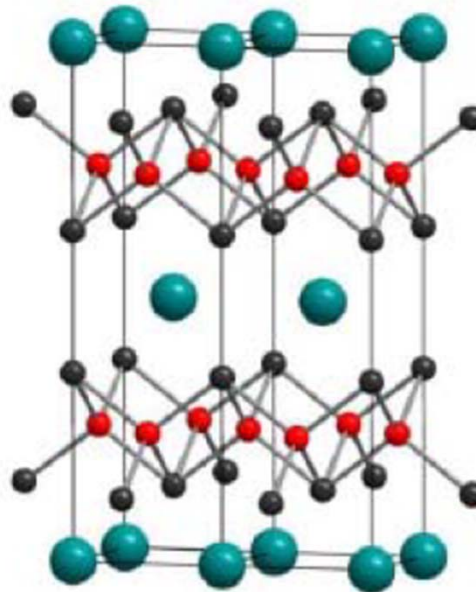


H. Hosono
2008

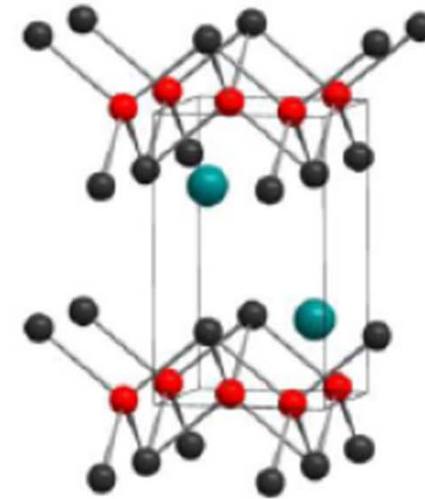
Supergeleiding in ijzerpnictiden: gelaagd met FeAs vlakken



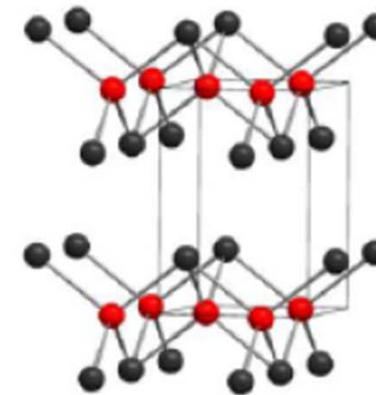
LaFeAsO



Ba(FeAs)₂



LiFeAs

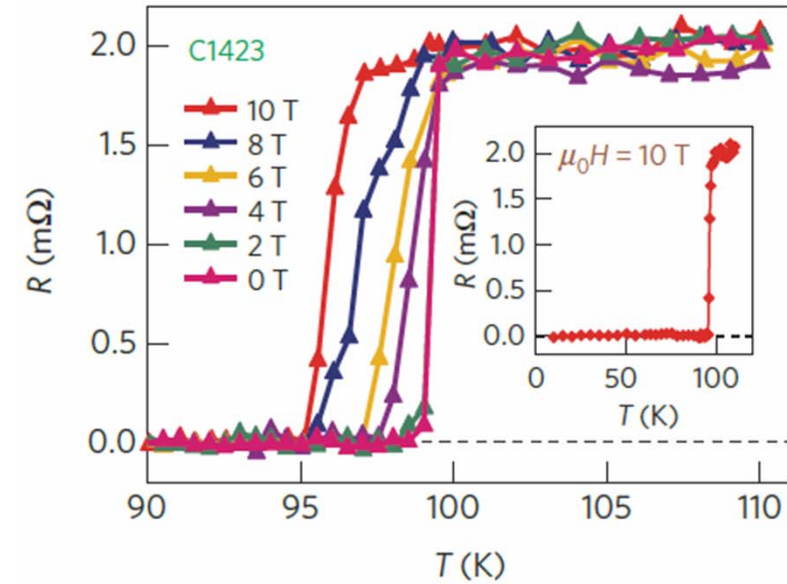
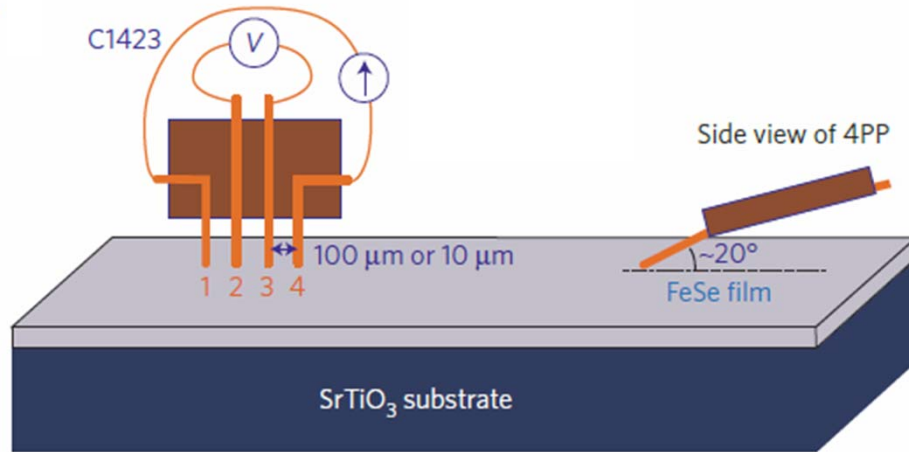


FeSe

- 1111, 122, 111 en 11 kristalstructuur
- supergeleiding in FeAs of FeSe lagen

2015: Supergeleiding bij 100 K in monolaag FeSe dunne film

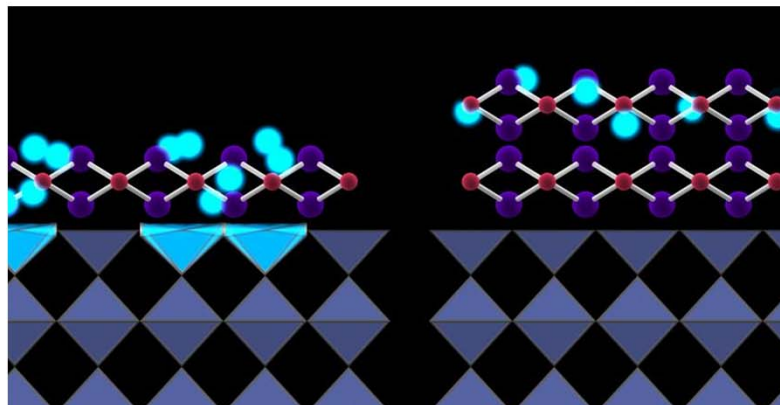
J.-F. Ge *et al.*, Nature Materials 14 (2015) 285



$T_s = 100 \text{ K!}$

1 laag FeSe

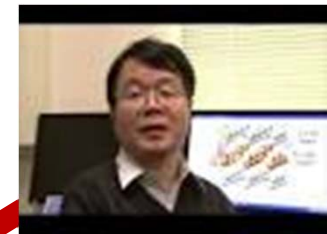
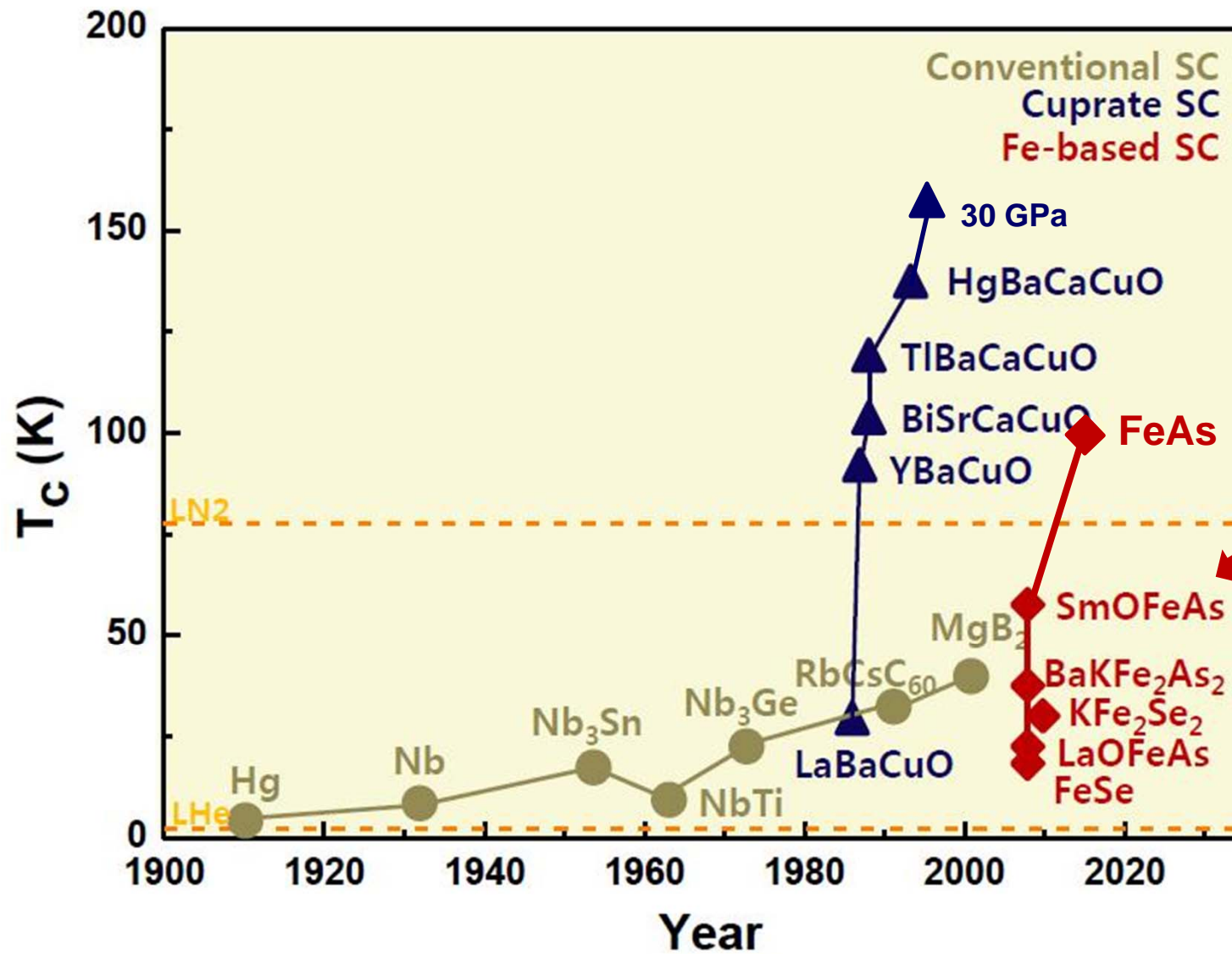
substraat



2 lagen FeSe

geen supergeleiding

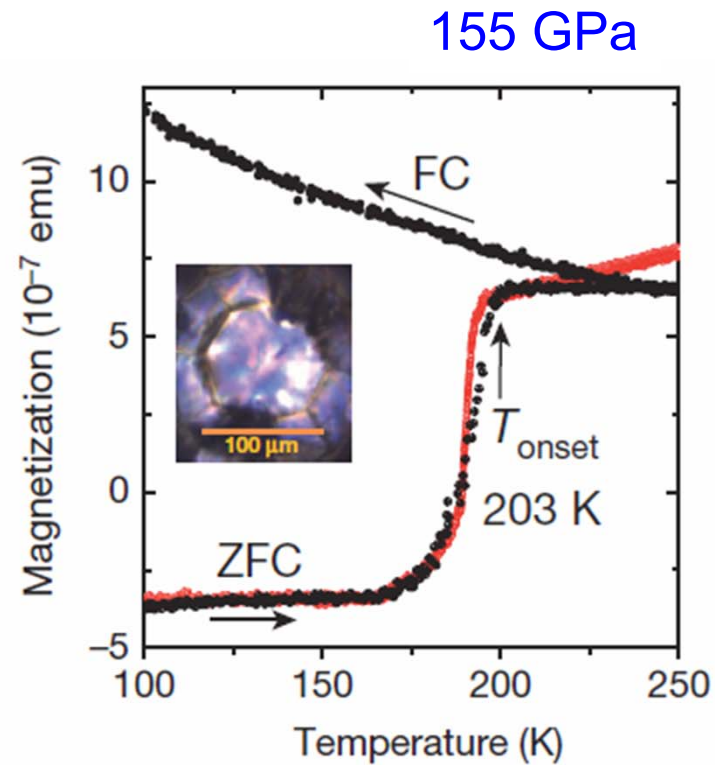
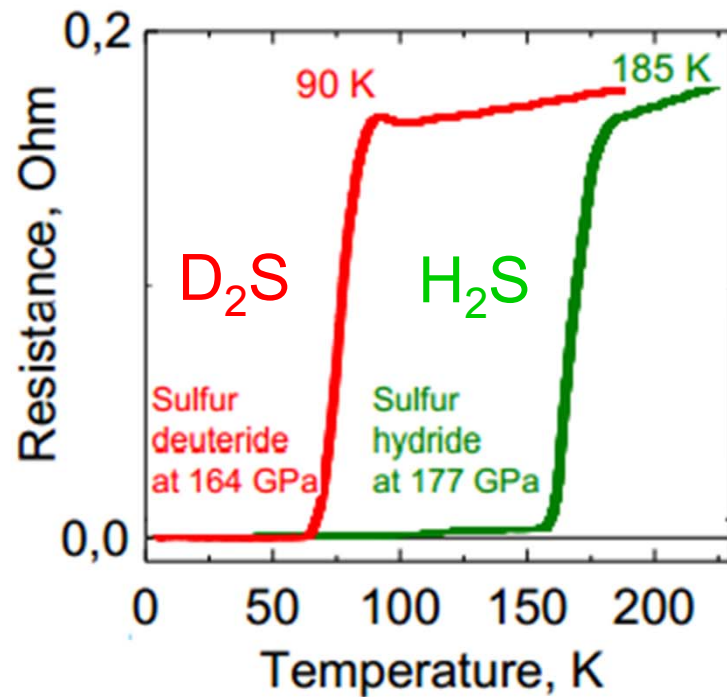
Supergeleiding in ijzerpnictiden



H. Hosono
2008

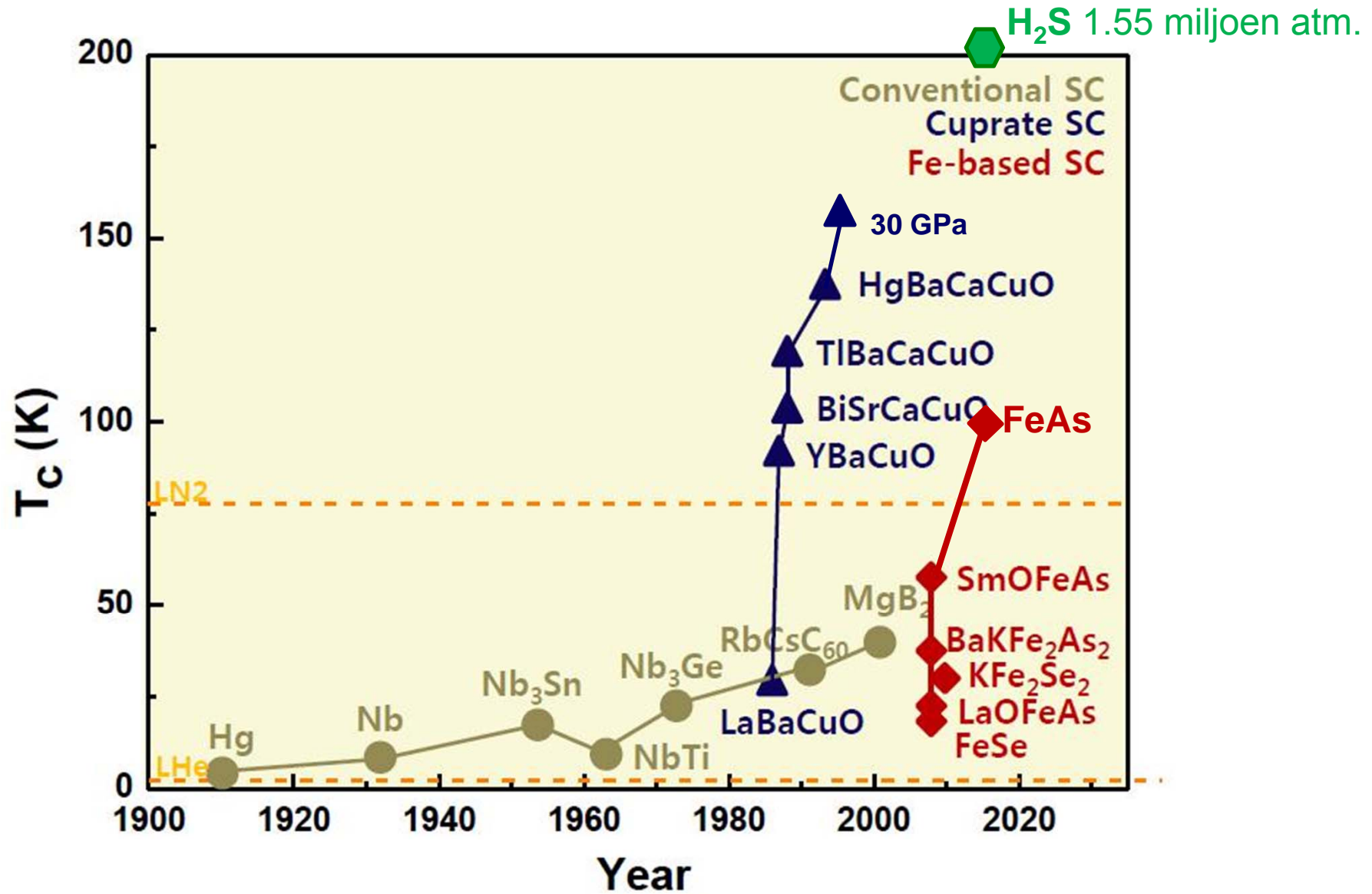
2015: Supergeleiding bij 203 K in H₂S onder hoge druk ~1.8 miljoen atm.

Drozdov *et al.*, Nature 525 (2015) 73



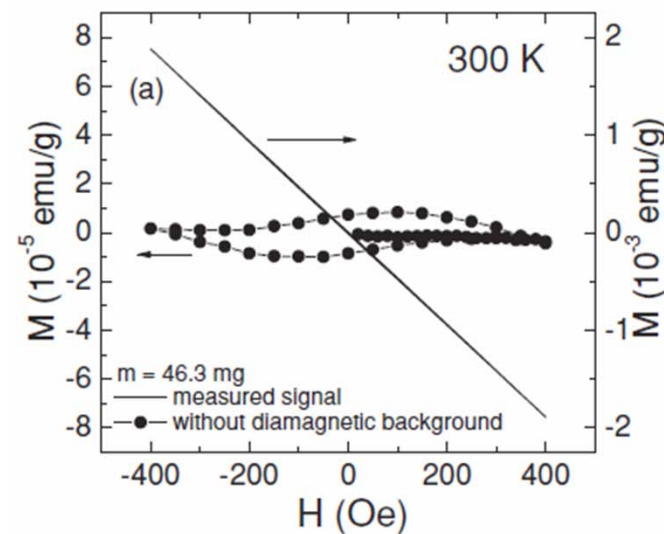
groot isotoop effect
→ BCS model?

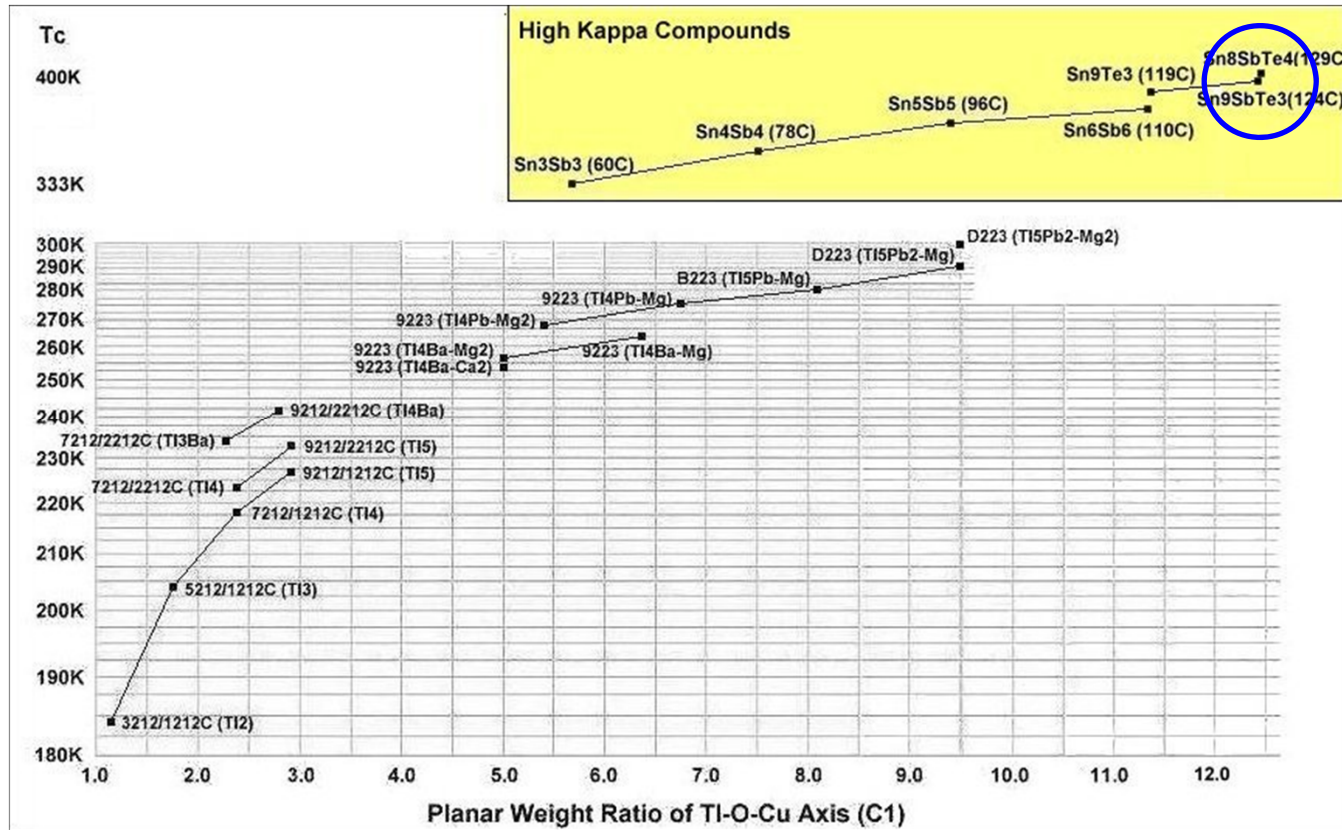
Supergeleiding in H₂S onder druk



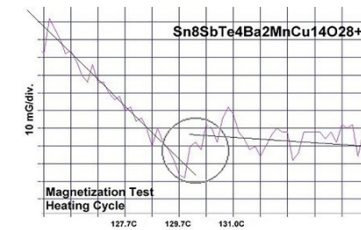
Can Doping Graphite Trigger Room Temperature Superconductivity? Evidence for Granular High-Temperature Superconductivity in Water-Treated Graphite Powder

T. Scheike, W. Böhlmann, P. Esquinazi,* J. Barzola-Quiquia, A. Ballestar, and A. Setzer





eerste
400 K
supergeleider?



Nee! USO's: Unidentified Superconducting Objects

Supergeleiding wordt steeds "hotter", **nog slechts 100 K te gaan ...**

